

Steierische Modellierungswoche 2012

Projekt: Signalverarbeitung

Tutorium: Trennung von Datenquellen in unkorrelierte und unabhängige Komponenten

a.o.Univ.Prof. Mag.Dr. Stephen Keeling

<http://math.uni-graz.at/keeling/>

Literatur:

[http://cis.legacy.ics.tkk.fi/aapo/papers/
IJCNN99_tutorialweb/](http://cis.legacy.ics.tkk.fi/aapo/papers/IJCNN99_tutorialweb/)

Dokumentation:

[http://math.uni-graz.at/keeling/skripten/
Tutorium.pdf](http://math.uni-graz.at/keeling/skripten/Tutorium.pdf)

Dank an Herrn Dipl.-Ing. Dr. Gernot Reishofer
für seine Unterstützung für diese Arbeit!

Inhaltsverzeichnis

Matrixalgebra

- Lineare Gleichungen
- Lösung von Systemen Linearer Gleichungen
- Effekt der Matrix-Multiplikation
- Eigenräume
- Eigenwerte und Eigenvektoren
- Eigenraum-Zerlegung

Statistik

- Mittelwert und Varianz einer Abtastung
- Zentraler Grenzwertsatz
- Kovarianz zweier Abtastungen
- Zentrierte und Gesphärte Daten
- Korrelation
- Unabhängigkeit
- Mischungen von Abtastungen
- Gaußianität
- Hauptkomponentenanalyse (PCA) und Unabhängigkeitsanalyse (ICA)

Optimierung

- Nelder-Mead Verfahren
- `fminsearch`
- Optimierung der Wölbung mit Nelder-Mead
- Abstiegsverfahren
- Abstiegsverfahren für Systeme
- Optimierung der Wölbung mit Roher Gewalt
- Optimierung der Wölbung mit Abstiegsverfahren
- Newton Verfahren
- Newton Verfahren für Systeme
- Optimierung der Wölbung mit Newton Verfahren

Fortgeschrittene Themen

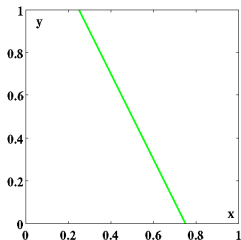
- Robuste Zielfunktion
- Optimierung der Robusten Zielfunktion
- Formulierung im Funktionenraum

Matrixalgebra

Beispiel einer linearen Gleichung:

$$4x + 2y = 3$$

Sie heisst *linear* wegen der grafischen Darstellung:



Mögliche Anwendung:
Die Nachfrage y fällt ab,
wenn der Preis x steigt.

Lineares Modell am einfachsten.

MATLAB Code für diese Grafik:

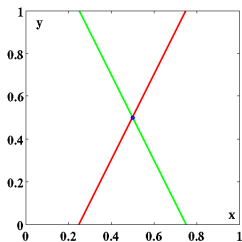
```
n = 101;  
x = (0:(n-1))/(n-1);  
y = (3-4*x)/2;  
plot(x,y,'g');
```

Lineare Gleichungen

Beispiel einer zweiten linearen Gleichung:

$$4x + 2y = 3, \quad -4x + 2y = -1$$

Die beiden Gleichungen gelten im Schnittpunkt $(\frac{1}{2}, \frac{1}{2})$:



Ergänzte Anwendung:
Das Angebot y steigt,
wenn der Preis x steigt.

Kaufpreis $x = \frac{1}{2}$ entsteht natürlich.

MATLAB Code für diese Grafik:

```
n = 101;  
x = linspace(0,1,n); xP = 0.5;  
yN = (3-4*x)/2; yA = (-1+4*x)/2; yP = 0.5;  
plot(x,yN,'g',x,yA,'r',xP,yP,'bo');
```

Lösung von Systemen Linearer Gleichungen

Wie findet man den Schnittpunkt?

$$\begin{array}{rcl} 4x + 2y & = & 3 \quad (\text{I}) \\ -4x + 2y & = & -1 \quad (\text{II}) \\ \hline (\text{I}) + (\text{II}) \rightarrow & 4y & = 2 \Rightarrow y = \frac{1}{2} \\ \hline (\text{I}) \rightarrow & 4x + 2\left(\frac{1}{2}\right) & = 3 \Rightarrow x = \frac{1}{2} \end{array}$$

Allgemeiner:

$$\begin{array}{rcl} a_{11}x_1 + a_{12}x_2 & = & b_1 \quad (\text{I}) \\ m_{21} = a_{11}/a_{21} & & a_{21}x_1 + a_{22}x_2 = b_2 \quad (\text{II}) \\ \hline -m_{21}(\text{II}) \rightarrow & -a_{11}x_1 - m_{21}a_{22}x_2 & = -m_{21}b_2 \quad (\text{III}) \\ \hline (\text{I}) + (\text{III}) \rightarrow & (a_{12} - m_{21}a_{22})x_2 & = (b_1 - m_{21}b_2) \\ & & \Rightarrow \dots x_2 = \frac{a_{11}b_2 - a_{21}b_1}{a_{11}a_{22} - a_{21}a_{12}} \\ \hline (\text{I}) \rightarrow & a_{11}x_1 + a_{12} \frac{a_{11}b_2 - a_{21}b_1}{a_{11}a_{22} - a_{21}a_{12}} & = b_1 \\ & & \Rightarrow x_1 = \frac{b_1 a_{22} - b_2 a_{12}}{a_{11} a_{22} - a_{21} a_{12}} \end{array}$$

Bemerke die notwendige Bedingung:

$$\det[A] = a_{11}a_{22} - a_{21}a_{12} \neq 0$$

Lösung von Systemen Linearer Gleichungen

MATLAB Code zur Lösung dieses Systems:

$$A = [4, 2; -4, 2];$$

$$b = [3; -1];$$

$$x = A \setminus b;$$

Gespeichert in `probe.m`, ausgeführt im Befehlsfenster:

```
>> probe
```

```
>> x
```

```
x =
```

```
0.5000
```

```
0.5000
```

Lösung vom 3×3 System, $Ax = b$,

$$\begin{bmatrix} 4 & 2 & 1 \\ 2 & 4 & 2 \\ 1 & 2 & 4 \end{bmatrix} \begin{bmatrix} x_1 \\ x_2 \\ x_3 \end{bmatrix} \rightarrow \left\{ \begin{array}{l} 4x_1 + 2x_2 + x_3 = 1 \\ 2x_1 + 4x_2 + 2x_3 = 2 \\ x_1 + 2x_2 + 4x_3 = 3 \end{array} \right\} \leftarrow \begin{bmatrix} 1 \\ 2 \\ 3 \end{bmatrix}$$

oder $x = A^{-1}b$, läuft analog mit MATLAB:

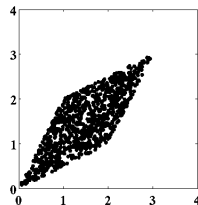
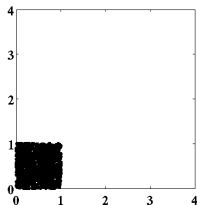
$$A = [4, 2, 1; 2, 4, 2; 1, 2, 4]; \quad b = [1; 2; 3]; \quad x = A \setminus b;$$

Effekt der Matrix-Multiplikation

Für die folgende Matrix A werden alle Punkte $\mathbf{x} = \langle x_1, x_2 \rangle^T$ (links) zu Punkte $A\mathbf{x}$ (rechts) abgebildet:

$$A = \begin{bmatrix} 2 & 1 \\ 1 & 2 \end{bmatrix}$$

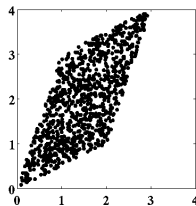
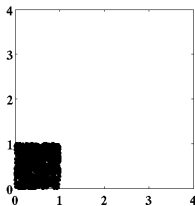
(symmetrisch)



Für die folgende Matrix A werden alle Punkte \mathbf{x} (links) zu Punkte $A\mathbf{x}$ (rechts) abgebildet:

$$A = \begin{bmatrix} 1 & 2 \\ 3 & 1 \end{bmatrix}$$

(nicht
symmetrisch)



Effekt der Matrix-Multiplikation

MATLAB Code für diese Grafiken:

```
A = [2, 1; 1, 2];
```

oder

```
A = [1, 2; 3, 1];
```

```
n = 1001;
```

```
x = rand(2, n);
```

```
y = A*x;
```

```
subplot(1, 2, 1)
```

```
plot(x(1, :), x(2, :), 'k*')
```

```
axis([0 4 0 4]);
```

```
subplot(1, 2, 2)
```

```
plot(y(1, :), y(2, :), 'k*')
```

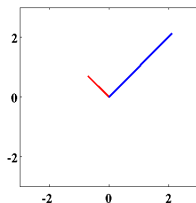
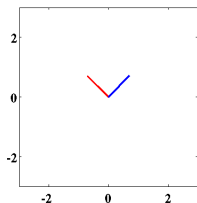
```
axis([0 4 0 4]);
```


Effekt der Matrix-Multiplikation

Für die folgende Matrix A werden alle Punkte \mathbf{x} (links) zu Punkte $A\mathbf{x}$ (rechts) abgebildet:

$$A = \begin{bmatrix} 2 & 1 \\ 1 & 2 \end{bmatrix}$$

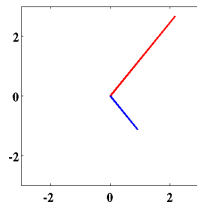
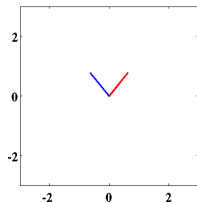
(symmetrisch)



Für die folgende Matrix A werden alle Punkte \mathbf{x} (links) zu Punkte $A\mathbf{x}$ (rechts) abgebildet:

$$A = \begin{bmatrix} 1 & 2 \\ 3 & 1 \end{bmatrix}$$

(nicht
symmetrisch)



Eigenräume

Wie findet man solche *Eigenräume*? Durch Lösung einer Gleichung,

$$A\mathbf{v} = \lambda\mathbf{v}$$

Beispiel: Mit der ersten Matrix A oben,


$$\begin{bmatrix} 2 & 1 \\ 1 & 2 \end{bmatrix} \begin{bmatrix} v_1 \\ v_2 \end{bmatrix} = \lambda \begin{bmatrix} v_1 \\ v_2 \end{bmatrix} \Leftrightarrow \begin{cases} (2 - \lambda)v_1 + v_2 = 0 \\ v_1 + (2 - \lambda)v_2 = 0 \end{cases}$$

Mit den obigen Lösungsformeln ergibt sich $v_1 = v_2 = 0$ ausser

$$\det \begin{bmatrix} (2 - \lambda) & 1 \\ 1 & (2 - \lambda) \end{bmatrix} = (2 - \lambda)^2 - 1 = 0 \quad \text{oder} \quad \lambda \in \{1, 3\}.$$

Insbesondere

$$\lambda = 1 \Rightarrow \begin{cases} v_1 + v_2 = 0 \\ v_1 + v_2 = 0 \end{cases} \quad \lambda = 3 \Rightarrow \begin{cases} -v_1 + v_2 = 0 \\ v_1 - v_2 = 0 \end{cases}$$

oder $\lambda = 1 \Rightarrow v_1 = -v_2$ und $\lambda = 3 \Rightarrow v_1 = v_2$. Siehe Grafik! 

Eigenwerte und Eigenvektoren

Beispiel: Mit der zweiten Matrix A oben,

$$\begin{bmatrix} 1 & 3 \\ 2 & 1 \end{bmatrix} \begin{bmatrix} v_1 \\ v_2 \end{bmatrix} = \lambda \begin{bmatrix} v_1 \\ v_2 \end{bmatrix} \Leftrightarrow \begin{cases} (1-\lambda)v_1 + 3v_2 = 0 \\ 2v_1 + (1-\lambda)v_2 = 0 \end{cases}$$

Die triviale Lösung $v_1 = v_2 = 0$ ergibt sich ausser

$$\det \begin{bmatrix} (1-\lambda) & 3 \\ 2 & (1-\lambda) \end{bmatrix} = (1-\lambda)^2 - 6 = 0 \quad \text{oder} \quad \lambda \in \{1-\sqrt{6}, 1+\sqrt{6}\}$$

wobei $1 - \sqrt{6} \approx -1.45$ und $1 + \sqrt{6} \approx 3.45$. Insbesondere

$$\lambda = 1 - \sqrt{6} \Rightarrow \begin{cases} \sqrt{6}v_1 + 3v_2 = 0 \\ 2v_1 + \sqrt{6}v_2 = 0 \end{cases} \quad \lambda = 1 + \sqrt{6} \Rightarrow \begin{cases} -\sqrt{6}v_1 + 3v_2 = 0 \\ 2v_1 - \sqrt{6}v_2 = 0 \end{cases}$$

oder die *Eigenwerte*

$$\lambda_1 = 1 - \sqrt{6} \quad \text{und} \quad \lambda_2 = 1 + \sqrt{6}.$$

haben die entsprechenden Lösungen oder *Eigenvektoren*

$$\mathbf{v}_1 = \left\langle -\sqrt{\frac{3}{5}}, \sqrt{\frac{2}{5}} \right\rangle^T \quad \text{und} \quad \mathbf{v}_2 = \left\langle \sqrt{\frac{3}{5}}, \sqrt{\frac{2}{5}} \right\rangle^T$$

mit der üblichen *Normalisierung* $\|\mathbf{v}_1\| = \|\mathbf{v}_2\| = 1$. Siehe Grafik! 

Eigenraum-Zerlegung

Seien die Eigenräume gegeben:

$$A\mathbf{v}_1 = \mathbf{v}_1\lambda_1, \quad A\mathbf{v}_2 = \mathbf{v}_2\lambda_2$$

Mit den Matrizen,

$$V = \{\mathbf{v}_1, \mathbf{v}_2\}, \quad \Lambda = \text{diag}\{\lambda_1, \lambda_2\}$$

kann die Eigenraum-Zerlegung so umgeschrieben werden:

$$AV = V\Lambda$$

Ein beliebiger Vektor \mathbf{v} kann durch die Lösung,

$$\mathbf{v} = V\mathbf{z}, \quad \mathbf{z} = V^{-1}\mathbf{v}, \quad \mathbf{z} = \langle z_1, z_2 \rangle^T$$

bezüglich der neuen Basis $\{\mathbf{v}_1, \mathbf{v}_2\}$ dargestellt werden,


$$\mathbf{v} = z_1\mathbf{v}_1 + z_2\mathbf{v}_2$$

So wird die **Wirkung der Matrix A** ,

$$A\mathbf{v} = z_1A\mathbf{v}_1 + z_2A\mathbf{v}_2 = z_1\lambda_1\mathbf{v}_1 + z_2\lambda_2\mathbf{v}_2$$

d.h.

$$A\mathbf{v} = (V\Lambda V^{-1})(V\mathbf{z}) = V(\Lambda\mathbf{z})$$

entkoppelt in 1D Wirkungen auf jeder Achse $\{\mathbf{v}_1, \mathbf{v}_2\}$ eines neuen *verzerrten* Achsensystems. Siehe Grafik! 

Eigenraum-Zerlegung

Wie oben erklärt, werden die Eigenvektoren normalisiert:

$$\mathbf{v}_1^T \mathbf{v}_1 = \mathbf{v}_2^T \mathbf{v}_2 = 1$$

Wenn A symmetrisch ist, sind die Eigenvektoren senkrecht auf einander!

$$\mathbf{v}_1^T \mathbf{v}_2 = 0$$

Diese Bedingungen können mit Matrizen so umgeschrieben werden:


$$V^T V = I, \quad V^{-1} = V^T$$

So ist V eine *Drehungsmatrix*. Folgendes Umschreiben entspricht einer Drehung:

$$\mathbf{v} = V\mathbf{d}, \quad \mathbf{d} = V^T \mathbf{v}$$

So wird die **Wirkung der Matrix A** ,

$$A\mathbf{v} = (V\Lambda V^T)(V\mathbf{d}) = V(\Lambda\mathbf{d})$$

entkoppelt in 1D Wirkungen auf jeder Achse $\{\mathbf{v}_1, \mathbf{v}_2\}$ eines neuen **gedrehten** Achsensystems. Siehe Grafik! 

Eigenraum-Zerlegung

MATLAB Code zur Bestimmung der Eigenräume:

Im Befehlsfenster,

```
>> A = [1, 3; 2, 1];
```

```
>> [V,L] = eig(A)
```

```
V =
```

```
0.7746 -0.7746
```

```
0.6325 0.6325
```

```
L =
```

```
3.4495 0
```

```
0 -1.4495
```

```
>> inv(V)*A*V
```

```
ans =
```

```
3.4495 0.0000
```

```
-0.0000 -1.4495
```

```
>> A = [2, 1; 1, 2];
```

```
>> [V,L] = eig(A)
```

```
V =
```

```
-0.7071 0.7071
```

```
0.7071 0.7071
```

```
L =
```

```
1 0
```


```
0 3
```

```
>> V'*A*V
```

```
ans =
```

```
1.0000 0
```

```
0 3.0000
```

Vergleiche mit den obigen händischen Rechnungen. 

Eigenraum-Zerlegung

Beispiel: Für einen gegebenen Vektor

$$\mathbf{v} = n_1 \mathbf{e}_1 + n_2 \mathbf{e}_2$$

wobei

$$\mathbf{e}_1 = \langle 1, 0 \rangle^T \text{ und } \mathbf{e}_2 = \langle 0, 1 \rangle^T,$$

wie bestimmt man in dem *natürlichen* Achsensystem $\{\mathbf{e}_1, \mathbf{e}_2\}$ die Koordinaten $\mathbf{n} = \langle n_1, n_2 \rangle^T$? **Methode:**

$$\mathbf{e}_1^T \mathbf{v} = n_1 (\mathbf{e}_1^T \mathbf{e}_1)_{=1} + n_2 (\mathbf{e}_1^T \mathbf{e}_2)_{=0} = n_1$$

$$\mathbf{e}_2^T \mathbf{v} = n_1 (\mathbf{e}_2^T \mathbf{e}_1)_{=0} + n_2 (\mathbf{e}_2^T \mathbf{e}_2)_{=1} = n_2$$

oder mit $I = \{\mathbf{e}_1, \mathbf{e}_2\}$,

$$I^T \mathbf{v} = \mathbf{n}.$$

Wie bestimmt man die Koordinaten $\mathbf{d} = \langle d_1, d_2 \rangle^T$

$$\mathbf{v} = d_1 \mathbf{v}_1 + d_2 \mathbf{v}_2$$

in dem *gedrehten* Achsensystem der Eigenvektoren $\{\mathbf{v}_1, \mathbf{v}_2\}$ der Matrix $A = [2, 1; 1, 2]$? **Methode:**

$$\mathbf{v}_1^T \mathbf{v} = d_1 (\mathbf{v}_1^T \mathbf{v}_1)_{=1} + d_2 (\mathbf{v}_1^T \mathbf{v}_2)_{=0} = d_1$$

$$\mathbf{v}_2^T \mathbf{v} = d_1 (\mathbf{v}_2^T \mathbf{v}_1)_{=0} + d_2 (\mathbf{v}_2^T \mathbf{v}_2)_{=1} = d_2$$

oder mit $V = \{\mathbf{v}_1, \mathbf{v}_2\}$,

$$V^T \mathbf{v} = \mathbf{d}.$$

Eigenraum-Zerlegung

Beispiel: Wie bestimmt man die Koordinaten $\mathbf{z} = \langle z_1, z_2 \rangle^T$

$$\mathbf{v} = z_1 \mathbf{v}_1 + z_2 \mathbf{v}_2$$

in dem *verzerrten* Achsensystem der Eigenvektoren $\{\mathbf{v}_1, \mathbf{v}_2\}$ der Matrix $A = [1, 3; 2, 1]$? **Methode:**

$$\mathbf{v}_1^T \mathbf{v} = z_1 (\mathbf{v}_1^T \mathbf{v}_1)_{=1} + z_2 (\mathbf{v}_1^T \mathbf{v}_2)_{\neq 0} = z_1 + (?)z_2$$

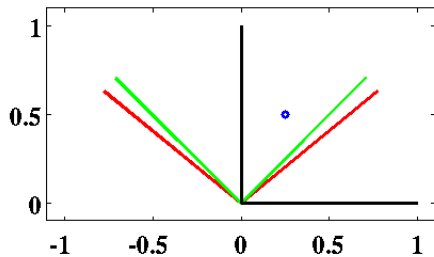
$$\mathbf{v}_2^T \mathbf{v} = z_1 (\mathbf{v}_2^T \mathbf{v}_1)_{\neq 0} + z_2 (\mathbf{v}_2^T \mathbf{v}_2)_{=1} = (?)z_1 + z_2$$

Mit $V = \{\mathbf{v}_1, \mathbf{v}_2\}$, müssen die Koordinaten so berechnet werden:

$$\mathbf{v} = V\mathbf{z}, \quad \mathbf{z} = V^{-1}\mathbf{v}.$$

Beispiel:

Für den Punkt \mathbf{v} , finde die *natürlichen* Koordinaten \mathbf{n} , die Koordinaten \mathbf{d} des *gedrehten* Eigensystems von $A = [2, 1; 1, 2]$ und die Koordinaten \mathbf{z} des *verzerrten* Eigensystems von $A = [1, 3; 2, 1]$.



Statistik

Sei $\mathbf{x} = \{x_i\}_{i=1}^n$ eine Abtastung.

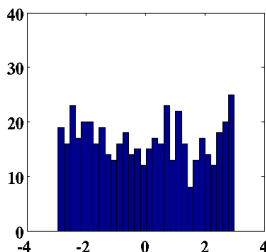
Der *Mittelwert* ist:

$$\mu(\mathbf{x}) = \frac{1}{n} \sum_{i=1}^n x_i$$

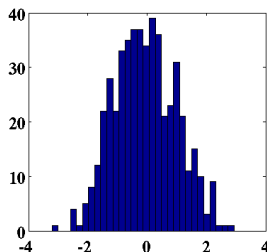
Die *Standardabweichung* ist $\sigma(\mathbf{x})$ und die *Varianz* ist:

$$\sigma^2(\mathbf{x}) = \frac{1}{n} \sum_{i=1}^n (x_i - \mu(\mathbf{x}))^2$$

Beispiele: **Gleichmäßig** und **Gauß** verteilte Abtastungen.



$$\begin{aligned}\mu(\mathbf{x}) &= -0.0214, \\ \sigma^2(\mathbf{x}) &= 3.1860\end{aligned}$$



$$\begin{aligned}\mu(\mathbf{y}) &= -0.0626, \\ \sigma^2(\mathbf{y}) &= 1.0834\end{aligned}$$

Histogramm: Anzahl der Werte $\{x_i\}$ in einem diskreten *bin* vs. bin.

Mittelwert und Varianz einer Abtastung

MATLAB Code für diese Grafiken:

```
n = 501;
x = rand(1,n); % gleichmaessig in [0,1]
x = 6*(x-0.5); % gleichmaessig in [-3,3]
disp(strcat('x-Mittelwert=', num2str(mean(x))), ...
      ' x-Varianz=', num2str(std(x)^2));
y = randn(1,n); % Gauss (normal)
disp(strcat('y-Mittelwert=', num2str(mean(y))), ...
      ' y-Varianz=', num2str(std(y)^2));
subplot(1,2,1);
hist(x,30); % x-Histogramm mit 30 bins
axis([-4 4 0 40]);
subplot(1,2,2);
hist(y,30); % y-Histogramm mit 30 bins
axis([-4 4 0 40]);
```

Beispiel: Wie ändert man $\mu(\mathbf{y})$ und $\sigma(\mathbf{y})$?

Zentraler Grenzwertsatz

Warum ist die **Gaußsche Verteilung** so wichtig?

Zentraler Grenzwertsatz: Sei $\{x_i\}_{i=1}^n$ eine Folge von unabhängigen identisch verteilten Zufallsvariablen mit (theoretischen) Mittelwert μ und Standardabweichung σ . Mit

$$\bar{x}_n = \frac{1}{n} \sum_{i=1}^n x_i$$

sei Φ_n die Verteilung der Zufallsvariable

$$\frac{\bar{x}_n - \mu}{\sigma/\sqrt{n}}$$

Sei Φ die Verteilung einer Gaußschen (normalen) Zufallsvariable $N(0, 1)$ mit Mittelwert 0 und Standardabweichung 1. Dann gilt

$$\Phi_n \xrightarrow{n \rightarrow \infty} \Phi.$$

Praktische Konsequenz: Eine lineare Mischung (Summe) ist *normaler* als die Quellen! (Rückgängig machen?)

Beispiel: Sogar für $x \sim U(\mu, \sigma)$ (gleichmäßig), gilt $\frac{\bar{x}_n - \mu}{\sigma/\sqrt{n}} \xrightarrow{n \rightarrow \infty} N(0, 1)$.

Kovarianz zweier Abtastungen

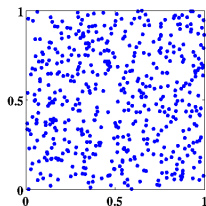
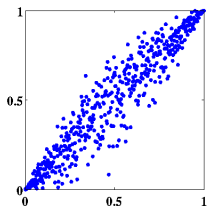
Die Varianz $\sigma^2(\mathbf{x})$ für $\mathbf{x} = \{x_i\}_{i=1}^n$ lässt sich so umschreiben:

$$\sigma^2(\mathbf{x}) = \frac{1}{n}[\mathbf{x} - \mu(\mathbf{x})]^T[\mathbf{x} - \mu(\mathbf{x})]$$

Analog gibt es eine *Kovarianz* zwischen $\mathbf{x} = \{x_i\}_{i=1}^n$ und $\mathbf{y} = \{y_i\}_{i=1}^n$,

$$\kappa(\mathbf{x}, \mathbf{y}) = \frac{1}{n}[\mathbf{x} - \mu(\mathbf{x})]^T[\mathbf{y} - \mu(\mathbf{y})]$$

Beispiel:



$$\kappa(\mathbf{x}, \mathbf{x}) = 0.0837$$

$$\kappa(\mathbf{x}, \mathbf{y}) = 0.0831$$

$$\kappa(\mathbf{y}, \mathbf{y}) = 0.0910$$

$$\kappa(\mathbf{x}, \mathbf{x}) = 0.0844$$

$$\kappa(\mathbf{x}, \mathbf{y}) = 0.0026$$

$$\kappa(\mathbf{y}, \mathbf{y}) = 0.0789$$

Kovarianzmatrix:

$$K = \begin{bmatrix} \kappa(\mathbf{x}, \mathbf{x}) & \kappa(\mathbf{x}, \mathbf{y}) \\ \kappa(\mathbf{y}, \mathbf{x}) & \kappa(\mathbf{y}, \mathbf{y}) \end{bmatrix}$$

Je **höher** ist $\kappa(\mathbf{x}, \mathbf{y})$, desto enger liegen die Punkte in Richtung des Eigenvektors von K mit dem größten Eigenwert. Je **kleiner**, desto ähnlicher die Eigenwerte.

Kovarianz zweier Abtastungen

MATLAB Code für diese Grafik:

```
n = 501;

x = linspace(0,1,n);
y = x + 0.5*x.*(1-x).*randn(1,n);
subplot(1,2,1)
plot(x,y,'b*');
mux = mean(x); muy = mean(y);
[ (x-mux)*(x-mux)', (x-mux)*(y-muy)', (y-muy)*(y-muy)' ]/n

x = rand(1,n);
y = rand(1,n);
subplot(1,2,2)
plot(x,y,'b*');
mux = mean(x); muy = mean(y);
[ (x-mux)*(x-mux)', (x-mux)*(y-muy)', (y-muy)*(y-muy)' ]/n
```

Zentrierte und Gesphärte Daten

Wie können die Daten transformiert werden, damit die Kovarianz reduziert wird? Definiere die *zentrierten* Daten,


$$Y_z = \begin{bmatrix} \mathbf{y}_1^T - \mu(\mathbf{y}_1) \\ \mathbf{y}_2^T - \mu(\mathbf{y}_2) \end{bmatrix} \in \mathbb{R}^{2 \times n}$$

um die Kovarianzmatrix so umzuschreiben:

$$K = \frac{1}{n} Y_z Y_z^T \in \mathbb{R}^{2 \times 2}$$

Diese Matrix ist *symmetrisch und positiv semidefinit*:

$$\mathbf{v}^T Y_z Y_z^T \mathbf{v} = (Y_z^T \mathbf{v})^T (Y_z^T \mathbf{v}) = \|Y_z^T \mathbf{v}\|^2 \geq 0, \quad 0 \neq \mathbf{v} \in \mathbb{R}^2$$

Solche Matrizen haben Eigenvektoren mit $\mathbf{v}_i^T \mathbf{v}_j \in \{0, 1\}$ und nicht negative Eigenwerte $\lambda_i \geq 0$. Dann ist $\Lambda^{-\frac{1}{2}}$ wohl definiert .

Mit der Eigenraum-Zerlegung,

$$KV = V\Lambda \quad \Rightarrow \quad V\Lambda V^T = \frac{1}{n} Y_z Y_z^T \quad \Rightarrow \quad \Lambda = \frac{1}{n} V^T Y_z Y_z^T V$$

folgt

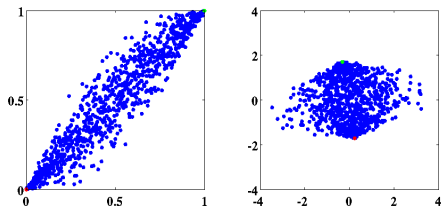
$$I = \Lambda^{-\frac{1}{2}} \Lambda \Lambda^{-\frac{1}{2}} = \frac{1}{n} \Lambda^{-\frac{1}{2}} V^T Y_z Y_z^T V \Lambda^{-\frac{1}{2}} = \frac{1}{n} (Y_z^T V \Lambda^{-\frac{1}{2}})^T (Y_z^T V \Lambda^{-\frac{1}{2}})$$

Daher sind die *gesphärten* Daten

$$Y_s = \Lambda^{-\frac{1}{2}} V^T Y_z \quad \text{unkorreliert,} \quad \frac{1}{n} Y_s Y_s^T = I.$$

Zentrierte und Gesphärte Daten

Die Daten werden mit der obigen Formel so gesphärt:



MATLAB Code für diese Grafik:

```
n = 1001; Y = zeros(2,n); Yz = zeros(2,n);
Y(1,:) = linspace(0,1,n);
Y(2,:) = Y(1,:) + 0.5*Y(1,:) .* (1-Y(1,:)) .* randn(1,n);
subplot(1,2,1); plot(Y(1,:),Y(2),'b*');
Yz(1,:) = Y(1,:) - mean(Y(1,:));
Yz(2,:) = Y(2,:) - mean(Y(2,:));
K = Yz*Yz'/n; [V,D] = eig(K);
Ys = diag(1./sqrt(diag(D))) * V' * Yz;
subplot(1,2,2); plot(Ys(1,:),Ys(2),'b*');
```

Kovarianz mehrerer Abtastungen

Seien m Abtastungen $\{\mathbf{y}_k\}_{k=1}^m$ gegeben, und definiere

$$Y_z = \begin{bmatrix} \mathbf{y}_1^T - \mu(\mathbf{y}_1) \\ \vdots \\ \mathbf{y}_m^T - \mu(\mathbf{y}_m) \end{bmatrix} \in \mathbb{R}^{m \times n}$$

Die Kovarianzmatrix ist:

$$K = \frac{1}{n} Y_z Y_z^T \in \mathbb{R}^{m \times m}$$

Aus der Eigenraum-Zerlegung $KV = V\Lambda$ folgt es wie vorher, dass $Y_s = \Lambda^{-\frac{1}{2}} V^T Y_z$ die Kovarianz $\frac{1}{n} Y_s Y_s^T = I$ hat.

Wenn $m \gg n$ gilt (z.B. # Pixel \gg # Zeitpunkte), wird die obige Zerlegung **leichter** durch folgende Eigenraum-Zerlegung bestimmt:

$$Y_z^T Y_z = \hat{Y}_s \hat{\Lambda} \hat{Y}_s^T \in \mathbb{R}^{n \times n} \text{ wobei } \Lambda = \begin{bmatrix} \hat{\Lambda} & \mathbf{0} \\ \mathbf{0} & \mathbf{0} \end{bmatrix} \in \mathbb{R}^{m \times m}, Y_s = \begin{bmatrix} \hat{Y}_s \\ \mathbf{0} \end{bmatrix} \in \mathbb{R}^m$$

und $\frac{1}{n} \hat{Y}_s^T \hat{Y}_s = I$. Dann mit $\hat{V} = Y_z \hat{Y}_s \hat{\Lambda}^{-\frac{1}{2}} \in \mathbb{R}^{m \times n}$ folgt

$$K \hat{V} = \frac{1}{n} Y_z (Y_z^T Y_z) \hat{Y}_s \hat{\Lambda}^{-\frac{1}{2}} = \frac{1}{n} Y_z (\hat{Y}_s \hat{\Lambda} \hat{Y}_s^T) \hat{Y}_s \hat{\Lambda}^{-\frac{1}{2}} = (Y_z \hat{Y}_s \hat{\Lambda}^{-\frac{1}{2}}) \hat{\Lambda} = \hat{V} \hat{\Lambda}.$$

Für jede Ergänzung $V = [\hat{V}, \tilde{V}]$ mit $V^T V = I$ folgt $KV = V\Lambda$.

Kovarianz mehrerer Abtastungen

Beispiel: Für jede Zeit $t = 1, \dots, T$ ist ein Bild $B(t)$ im Video,

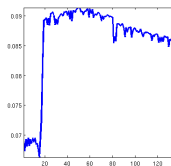
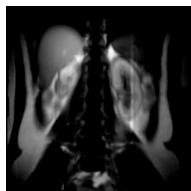
<http://math.uni-graz.at/invcon/medimage/respfilm1.mpg>

eine Matrix von Pixelwerten $B(t) = \{B_{i,j}(t)\}_{1 \leq i,j \leq N}$. Mit $m = T = 134$ und $n = N^2 = 400^2$ stellt man die Bilder als lange Vektoren dar:

$$\mathbf{y}_t^T = \{ B_{1,1}(t), \dots, B_{N,1}(t), B_{1,2}(t), \dots, B_{N,2}(t), \dots, B_{1,N}(t), \dots, B_{N,N}(t) \}$$

und führt die obigen Rechnungen mit $Y^T = \{\mathbf{y}_1, \dots, \mathbf{y}_m\}$ durch.

Dann sieht man links die erste Zeile von Y_s in ein Bild umgewickelt,



während rechts die erste Spalte von V steht.

Mit der umgedrehten Datenstruktur $Y \leftarrow Y^T$ gibt es viele Nullen in Λ . Mit der alternativen Zerlegung $Y_Z^T Y_Z = \hat{Y}_s \hat{\Lambda} \hat{Y}_s^T$ ist das Bild die erste Zeile von \hat{Y}_s , und der zeitliche Verlauf ist die erste Spalte von \hat{V} .

Korrelation

Die *Korrelation* zwischen $\mathbf{x} = \{x_i\}_{i=1}^n$ und $\mathbf{y} = \{y_i\}_{i=1}^n$ ist

$$\chi(\mathbf{x}, \mathbf{y}) = \frac{[\mathbf{x} - \mu(\mathbf{x})]^T [\mathbf{y} - \mu(\mathbf{y})]}{\|\mathbf{x} - \mu(\mathbf{x})\| \|\mathbf{y} - \mu(\mathbf{y})\|} = \frac{\kappa(\mathbf{x}, \mathbf{y})}{\sigma(\mathbf{x})\sigma(\mathbf{y})}$$

Wegen der Cauchy-Schwarz Ungleichung $|\mathbf{a}^T \mathbf{b}| \leq \|\mathbf{a}\| \|\mathbf{b}\|$,
 $|\chi(\mathbf{x}, \mathbf{y})| \leq 1$.

Die *Korrelationsmatrix* ist

$$\mathbf{X} = \begin{bmatrix} \chi(\mathbf{x}, \mathbf{x}) & \chi(\mathbf{x}, \mathbf{y}) \\ \chi(\mathbf{y}, \mathbf{x}) & \chi(\mathbf{y}, \mathbf{y}) \end{bmatrix} = \begin{bmatrix} 1 & \chi(\mathbf{x}, \mathbf{y}) \\ \chi(\mathbf{x}, \mathbf{y}) & 1 \end{bmatrix}$$

Die Variablen sind *unkorreliert* wenn $\chi(\mathbf{x}, \mathbf{y}) = \kappa(\mathbf{x}, \mathbf{y}) = 0$ und
 $\mathbf{X} = I$.

In diesem Fall gilt

$$\mathbf{K} = \begin{bmatrix} \kappa(\mathbf{x}, \mathbf{x}) & \kappa(\mathbf{x}, \mathbf{y}) \\ \kappa(\mathbf{y}, \mathbf{x}) & \kappa(\mathbf{y}, \mathbf{y}) \end{bmatrix} = \begin{bmatrix} \sigma^2(\mathbf{x}) & 0 \\ 0 & \sigma^2(\mathbf{y}) \end{bmatrix}$$

und die Kovarianzmatrix ist diagonal.

Unabhängigkeit

Zufallsvariablen x und y sind unabhängig, wenn

$$P(x \in M \text{ und } y \in N) = P(x \in M) \cdot P(y \in N)$$

Beispiel: Zwei Münzen werden geworfen, und für

$$1. \text{ Münze, } x = \begin{cases} 1, & \text{Kopf} \\ 0, & \text{Zahl} \end{cases} \quad 2. \text{ Münze, } y = \begin{cases} 1, & \text{Kopf} \\ 0, & \text{Zahl} \end{cases}$$

Ein übliches Modell, das mit Erfahrung übereinstimmt, ist

$$P(x = m \text{ und } y = n) = P(x = m) \cdot P(y = n), \quad m, n \in \{0, 1\}$$

Bemerkung: *Unabhängig* impliziert *Unkorreliert*, aber nicht umgekehrt.

Beispiel: Punkte werden aus der Menge $\{(\pm 1, 0), (0, \pm 1)\}$ mit gleicher Häufigkeit ausgewählt, und \mathbf{x} und \mathbf{y} sind die x - bzw. y -Koordinaten der abgetasteten Punkte. Dann sind \mathbf{x} und \mathbf{y} unkorreliert:

$$\begin{aligned} \mu(\mathbf{x}) &= \mu(\mathbf{y}) = 0 \\ \kappa(\mathbf{x}, \mathbf{y}) &= \sum_{i=1}^n (0)(\pm 1)/n = 0. \end{aligned}$$

Sie sind aber nicht unabhängig:

$$0 = P(\mathbf{x} = 1 \text{ und } \mathbf{y} = 1) \neq P(\mathbf{x} = 1) \cdot P(\mathbf{y} = 1) = \frac{1}{4} \cdot \frac{1}{4} = \frac{1}{8}.$$

Mischungen von Abtastungen

Angenommen wären \mathbf{z}_1 und \mathbf{z}_2 ideale Abtastungen von 2 Quellen. Für das Folgende sind diese notwendigerweise **unabhängig und nicht Gauß verteilt**.

Dann werden tatsächlich abgetastet,

$$\left. \begin{aligned} \mathbf{y}_1 &= a_{11}\mathbf{z}_1 + a_{12}\mathbf{z}_2 \\ \mathbf{y}_2 &= a_{21}\mathbf{z}_1 + a_{22}\mathbf{z}_2 \end{aligned} \right\} \text{ oder } Y = AZ \text{ mit } \begin{cases} Y^T &= \{\mathbf{y}_1, \mathbf{y}_2\} \\ Z^T &= \{\mathbf{z}_1, \mathbf{z}_2\} \end{cases}$$

Diese sind **nicht mehr unabhängig**: Beide haben einen Anteil von \mathbf{z}_1 und \mathbf{z}_2 .

Nach dem Zentralen Grenzwertsatz sind \mathbf{y}_1 und \mathbf{y}_2 (d.h. Summen) mehr *Gauß* verteilt als \mathbf{z}_1 und \mathbf{z}_2 !

Um diesen Effekt rückgängig zu machen, sucht man eine Transformation $W \approx A^{-1}$

$$\left. \begin{aligned} \mathbf{x}_1 &= w_{11}\mathbf{y}_1 + w_{12}\mathbf{y}_2 \\ \mathbf{x}_2 &= w_{21}\mathbf{y}_1 + w_{22}\mathbf{y}_2 \end{aligned} \right\} \text{ oder } X = WY \text{ mit } \begin{cases} X^T &= \{\mathbf{x}_1, \mathbf{x}_2\} \\ Y^T &= \{\mathbf{y}_1, \mathbf{y}_2\} \end{cases}$$

wobei \mathbf{x}_1 und \mathbf{x}_2 **am wenigsten Gauß verteilt** wie möglich sind!

Mischungen von Abtastungen

Wenn \mathbf{x}_1 und \mathbf{x}_2 unabhängig sind, müssen sie auch unkorreliert sein. Daher werden \mathbf{y}_1 und \mathbf{y}_2 zuerst zentriert,

$$Y_z = Y - \bar{Y} = \begin{bmatrix} \mathbf{y}_1^T - \mu(\mathbf{y}_1) \\ \mathbf{y}_2^T - \mu(\mathbf{y}_2) \end{bmatrix} \in \mathbb{R}^{2 \times 2}$$

und gesphärt durch $K = \frac{1}{n} Y_z Y_z^T$, $KV = V\Lambda$ und $VV^T = I$,

$$Y_s = \Lambda^{-\frac{1}{2}} V^T Y_z$$

damit sie unkorreliert sind $\frac{1}{n} Y_s Y_s^T = I$. Daher ist **keine Drehung** der Daten Y_s bevorzugt **bezüglich Korrelation**.

Jedoch kann eine **Drehung** U , $UU^T = I$, anschließend bestimmt werden,

$$X_z = UY_s = U\Lambda^{-\frac{1}{2}} V^T Y_z, \quad W = U\Lambda^{-\frac{1}{2}} V^T \approx A^{-1}$$

wobei die zentrierten Daten X_z **am wenigsten Gauß verteilt** wie möglich sind! Dann mit $X_z = UY_s = U\Lambda^{-\frac{1}{2}} V^T [Y - \bar{Y}]$ gilt

$$\begin{bmatrix} \mathbf{x}_1^T \\ \mathbf{x}_2^T \end{bmatrix} = X = X_z + U\Lambda^{-\frac{1}{2}} V^T \bar{Y} = U\Lambda^{-\frac{1}{2}} V^T Y = WY$$

und ähnlich für $m > 2$ Quellen.

Gaußianität

Welche Eigenschaften hat eine Gaußsche Verteilung, die zu vermeiden sind, um Gaußianität zu reduzieren?

Wenn eine Abtastung $\mathbf{n} = \{n_i\}_{i=1}^n$ nach der Verteilung $N(\mu, \sigma)$ Gauß verteilt ist, hat sie die Momente,

$$M_k(\mathbf{n}) = \frac{1}{n} \sum_{i=1}^n |n_i - \mu|^k \xrightarrow{n \rightarrow \infty} \begin{cases} (k-1)!! \sigma^k, & k \text{ gerade} \\ \sqrt{\frac{2}{\pi}} (k-1)!! \sigma^k, & k \text{ ungerade} \end{cases}$$

wobei $k!! = k \cdot (k-2) \cdot (k-4) \cdots [2 \text{ oder } 1]$.

Wölbung oder Kurtosis ist definiert für \mathbf{x} (z.B. eine Zeile von $X_z = UY_s$) durch

$$W(\mathbf{x}) = M_4(\mathbf{x}) - 3M_2^2(\mathbf{x})$$

Für eine eher gleichmäßige Verteilung gilt $W(\mathbf{x}) < 0$. Für eine eher spitzige Verteilung gilt $W(\mathbf{x}) > 0$. Für ein Gauß verteiltes \mathbf{n} gilt

$$W(\mathbf{n}) = 3\sigma^4 - 3\sigma^4 = 0.$$

Um Gaußianität zu minimieren, könnte man minimieren:

$$J(\mathbf{u}) = -W^2(Y_s^T \mathbf{u}) \text{ für jede Spalte in } U^T = \{\mathbf{u}_1, \dots, \mathbf{u}_m\}.$$

Hauptkomponentenanalyse (PCA) und Unabhängigkeitsanalyse (ICA)

(PCA) Seien die Daten $Y^T = \{\mathbf{y}_1, \dots, \mathbf{y}_m\}$ zentriert,

$$Y_z = [Y - \bar{Y}] \in \mathbb{R}^{m \times n}, \quad \bar{Y}^T = \{\mu(\mathbf{y}_1), \dots, \mu(\mathbf{y}_m)\}$$

und gesphärt durch $K = \frac{1}{n} Y_z Y_z^T$, $KV = V\Lambda$ und $VV^T = I$,

$$Y_s = \Lambda^{-\frac{1}{2}} V^T Y_z$$

Sei $\Lambda = \text{diag}\{\lambda_1, \dots, \lambda_m\}$ mit $\lambda_1 \geq \dots \geq \lambda_m$. Dann sind die späteren Zeilen in Y_s *schwächer* vertreten in den Daten Y als die früheren. Mit $P \in \mathbb{R}^{r \times m}$, $r < m$, $P_{ij} = \delta_{ij}$ ($\delta_{ij} = 1, i = j; \delta_{ij} = 0, i \neq j$) werden die Daten Y auf die r **stärksten Hauptkomponenten** so projiziert:

$$Y \approx Y_P = \bar{Y} + V\Lambda^{\frac{1}{2}} P^T P Y_s = \bar{Y} + \frac{1}{n} Y_z (P Y_s)^T (P Y_s)$$

(ICA) Sei die Drehungsmatrix U so bestimmt,

$$X_z = U Y_s = U \Lambda^{-\frac{1}{2}} V^T Y_z$$

dass die Zeilen der zentrierten Daten X_z optimal unabhängig sind. Mit $Q \in \mathbb{R}^{r \times m}$, $r < m$, und $Q_{i,j} = \delta_{q_i,j}$, werden die Daten Y auf die r **unabhängigen Komponenten** $\{q_1, \dots, q_r\}$ so projiziert:

$$Y \approx Y_Q = \bar{Y} + V\Lambda^{\frac{1}{2}} U^T Q^T Q X_z = \bar{Y} + \frac{1}{n} Y_z (Q X_z)^T (Q X_z)$$

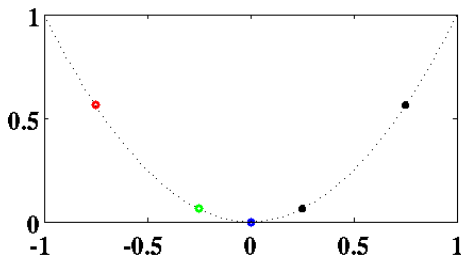
Optimierung

Zuerst wird überlegt, wie man eine Funktion $f(x)$, $x \in \mathbb{R}^1$, minimiert, wenn man nur $f(x)$ (und keine Ableitungen) in einer *black-box* Weise auswerten kann.

Beispiel: Man beginnt mit 2 Startpunkten, z.B.

$$x_1 = \frac{1}{4}, \quad x_2 = \frac{3}{4}$$

und wertet aus, $f(x_1) < f(x_2)$. (Kurve unbekannt)



Die nächsten vernünftigen Proben sind

$$x_1 - 2(x_2 - x_1) = -\frac{3}{4}, \quad x_1 - (x_2 - x_1) = -\frac{1}{4}, \quad x_1 - \frac{1}{2}(x_2 - x_1) = 0$$

Es wird ersetzt $x_2 \leftarrow x_1 - \frac{1}{2}(x_2 - x_1)$, dann neu gestartet, usw.

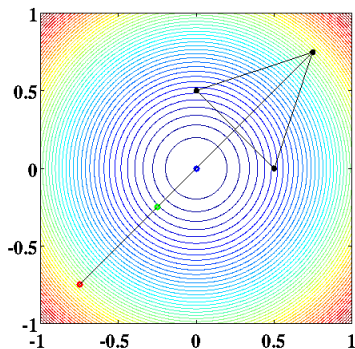
Nelder-Mead Verfahren

Dieses Verfahren, nach Nelder und Mead, heisst auch *Simplex Verfahren*, besonders in höheren Dimensionen.

Beispiel: In \mathbb{R}^2 beginnt man mit 3 Startpunkten, z.B.

$$\mathbf{x}_1 = \left(\frac{3}{4}, \frac{3}{4}\right), \quad \mathbf{x}_2 = \left(0, \frac{1}{2}\right), \quad \mathbf{x}_3 = \left(\frac{1}{2}, 0\right)$$

und wertet aus, $f(\mathbf{x}_1) > f(\mathbf{x}_2) = f(\mathbf{x}_3)$. (Konturen unbekannt)



Mit dem Mittelpunkt

$$\mathbf{x}_m = \frac{\mathbf{x}_2 + \mathbf{x}_3}{2}$$

sind die nächsten vernünftigen Proben:

$$\mathbf{x}_m - \frac{1}{2}(\mathbf{x}_1 - \mathbf{x}_m)$$

$$\mathbf{x}_m - (\mathbf{x}_1 - \mathbf{x}_m)$$

und

$$\mathbf{x}_m - 2(\mathbf{x}_1 - \mathbf{x}_m)$$

Es wird ersetzt $\mathbf{x}_1 \leftarrow \mathbf{x}_m - \frac{1}{2}(\mathbf{x}_1 - \mathbf{x}_m)$, dann neu gestartet, usw.

Nelder-Mead Verfahren

MATLAB Code für diese Grafik:

```
n = 501;
x = kron(linspace(-1,1,n), ones(n,1));
y = x';
z = x.^2 + y.^2;
contour(x,y,z,50);
hold on;
plot(+0.75,+0.75,'k*', ...
      +0.50,+0.00,'k*', ...
      +0.00,+0.50,'k*', ...
      +0.00,+0.00,'bo', ...
      -0.25,-0.25,'go', ...
      -0.75,-0.75,'ro');
plot([0,0.5,0.75,0],[0.5,0,0.75,0.5],'k',...
      [-0.75,0.75],[-0.75,0.75],'k');
hold off;
```

fminsearch

MATLAB Code zur Simplex Minimierung von $f(x) = x^2 + y^2$
über `MyMin.m` mit der eingebauten Funktion `fminsearch`:

```
function MyMin
opts = optimset('MaxIter',300,'MaxFunEvals',500);
x0 = [1,1];
[x,fval] = fminsearch(@MyFun,x0,opts)
```

```
function f = MyFun(x)
f = sum(x.^2);
```

Im Befehlsfenster,

```
>> MyMin
x =
    1.0e-04 *
    -0.2102  0.2548
fval =
    3.3037e-05
```

Optimierung der Wölbung mit Nelder-Mead

Gegeben sind Signale \mathbf{y}_1 und \mathbf{y}_2 , Mischungen von unabhängigen (nicht Gaußschen) \mathbf{z}_1 und \mathbf{z}_2 .

MATLAB Code-Stück zur Erzeugung von

$$\mathbf{Z}^T = \{\mathbf{z}_1, \mathbf{z}_2\} \text{ und } \mathbf{Y}^T = \{\mathbf{y}_1, \mathbf{y}_2\} \text{ mit } \mathbf{Y} = \mathbf{A}\mathbf{Z}$$

für die **Mischungsmatrix** $\mathbf{A} = [4, 3; 2, 1]$:

global n Ys (Siehe global unten in MyFun)

```
n = 101;
```

```
t = linspace(0, 10, n);
```

```
A = [4, 3; 2, 1];
```

```
Z = [rand(1, n); t/2-floor(t/2)];
```

```
Y = A*Z;
```

Die Daten \mathbf{y}_1 und \mathbf{y}_2 werden **zentriert**,

$$\mathbf{Y}_z = [\mathbf{Y} - \bar{\mathbf{Y}}] \in \mathbb{R}^{2 \times n} \quad \bar{\mathbf{Y}} = \{\mu(\mathbf{y}_1), \mu(\mathbf{y}_2)\}^T$$

und **gesphärt** durch $\mathbf{K} = \frac{1}{n} \mathbf{Y}_z \mathbf{Y}_z^T$, $\mathbf{K}\mathbf{V} = \mathbf{V}\Lambda$ und $\mathbf{V}\mathbf{V}^T = \mathbf{I}$,

$$\mathbf{Y}_s = \Lambda^{-\frac{1}{2}} \mathbf{V}^T \mathbf{Y}_z$$

Dann mit $\mathbf{u}^T \mathbf{u} = 1$ folgt $M_2(\mathbf{Y}_s^T \mathbf{u}) = \frac{1}{n} \mathbf{u}^T \mathbf{Y}_s \mathbf{Y}_s^T \mathbf{u} = \mathbf{u}^T \mathbf{u} = 1$.

Optimierung der Wölbung mit Nelder-Mead

MATLAB Code-Stück, um die Daten zu zentrieren und sphären:

```
Yz(1,:) = Y(1,:) - mean(Y(1,:));  
Yz(2,:) = Y(2,:) - mean(Y(2,:));  
K = Yz*Yz'/n; [V,D] = eig(K);  
Ys = diag(1./sqrt(diag(D))) * V' * Yz;
```

Der erste Vektor \mathbf{u}_1 in $U^T = \{\mathbf{u}_1, \mathbf{u}_2\}$ soll bestimmt werden, um

$$J(\mathbf{u}_1) = -W^2(Y_s^T \mathbf{u}_1) = -[\sum_{i=1}^n (\mathbf{e}_i Y_s^T \mathbf{u}_1)^4 / n - 3]^2$$

zu minimieren . Da $UU^T = I$ gelten muss, folgen

$$\mathbf{u}_1^T \mathbf{u}_1 = \mathbf{u}_2^T \mathbf{u}_2 = 1 \quad \text{und} \quad \mathbf{u}_1^T \mathbf{u}_2 = 0$$

Daher mit $\mathbf{u}_1 = \langle u_1, u_2 \rangle^T$ gegeben, passt $\mathbf{u}_2 = \langle -u_2, u_1 \rangle^T$.

MATLAB Code-Stück zur Bestimmung von U und daher X_z :

```
u0 = [1;0];  
opts = optimset('MaxIter',300,'MaxFunEvals',500);  
u = fminsearch(@MyFun,u0,opts);  
u = u/norm(u);  
U = [u(1),u(2);-u(2),u(1)]; Xz = U*Ys;
```

Optimierung der Wölbung mit Nelder-Mead

MATLAB Code-Stück zur Auswertung der Wölbung und Zielfunktion für den obigen Aufruf über *fminsearch*:

```
function f = MyFun(u)
global n Ys                                (Siehe global oben)
u1 = u/norm(u);      % M2 = mean((u1'*Ys).^2)->1
M4 = mean((u1'*Ys).^4);
f = -(M4 - 3)^2;
```

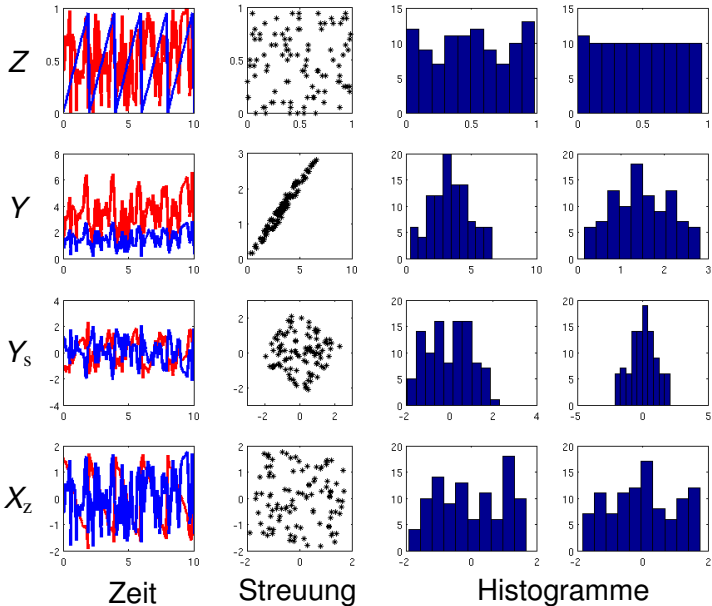
Diese Funktion kann auch aufgerufen werden, um die Landschaft der Zielfunktion grafisch darzustellen:

```
km = 20; th = zeros(km,1); J = zeros(km,1);
for k=1:km
    th(k) = 2*pi*(k-1)/km;
    u = [cos(th(k)); sin(th(k))];      % ||u||=1
    J(k) = MyFun(u);
end
plot(th,J)
```

Hier wird mit $\mathbf{u}(\theta) = \{\cos(\theta); \sin(\theta)\}$, $\theta \in [0, 2\pi]$, parameterisiert.

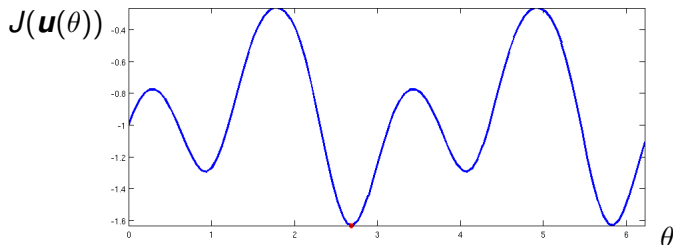
Optimierung der Wölbung mit Nelder-Mead

Ergebnis der Optimierung: Quellen erfolgreich getrennt!



Optimierung der Wölbung mit Nelder-Mead

Die Zielfunktion für das obige Beispiel mit $m = 2$,



Bemerkungen:

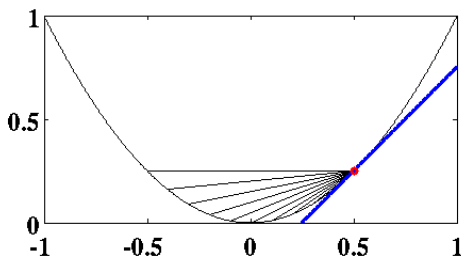
- ▶ Die Zielfunktion $J(\mathbf{u}(\theta)) = -W^2(Y_s^T \mathbf{u}(\theta))$ ist π -periodisch,
- ▶ und π -Differenzen in Drehungen werden gleich beurteilt.
- ▶ Die Zielfunktion hat lokale Minima,
- ▶ und breite und flache Gebiete sind üblich.
- ▶ Obwohl das Nelder-Mead Verfahren oft geeignet für globale Optimierung ist,
- ▶ kann eine **globale Suche mit roher Gewalt** notwendig sein.

Abstiegsverfahren

Nun wird überlegt, wie man eine Funktion $f(x)$, $x \in \mathbb{R}^1$, minimiert, wenn man die Funktion $f(x)$ und ihre Ableitung $f'(x)$ auswerten kann.

Die Ableitung $f'(x)$ an der Stelle x ist der Limes der Steigungen von Sekantenstrecken:

$$D_x f(x) = f'(x) = \lim_{h \rightarrow 0} \frac{f(x+h) - f(x)}{(x+h) - x} = \lim_{h \rightarrow 0} \frac{f(x+h) - f(x)}{h}$$



Sei $f(x) = x^2$ mit $f'(x) = 2x$. An der Stelle $x = \frac{1}{2}$ gilt $f'(\frac{1}{2}) = 1$. Da $f'(\frac{1}{2}) > 0$ gilt, erfüllen die nächsten vernünftigen Proben x zur Minimierung von $f(x)$ die Ungleichung $x < \frac{1}{2}$.

Abstiegsverfahren

Das Abstiegsverfahren ist

$$(\text{neues } x) \quad x \leftarrow x - \alpha f'(x) \quad (\text{altes } x)$$

wobei das neue x das alte x ersetzt, und α wird ausgewählt, sodass $f(x)$ reduziert wird.

Wie beim Simplex Verfahren sind vernünftige Proben für α gegeben durch

$$\alpha \in \{0, \frac{1}{2}, 1, 2\}$$

und das α wird gewählt, wo f am kleinsten ist.

MATLAB Code zur Minimierung von $f(x) = x^2$:

```
f=@(x) x.^2; fp=@(x) 2*x; a=[0,1,2,4]/2;
imax=100; tol=1.0e-3; x=0.5;
for i=1:imax
    xa=x; fpx=fp(x); fv=f(x-a*fpx);
    j=find(fv == min(fv),1); x=x-a(j)*fpx;
    if (abs(x-xa) <= tol*abs(x)); break; end;
end
```

Abstiegsverfahren für Systeme

In \mathbb{R}^2 (oder höher) verwendet man *Richtungsableitungen* für das Abstiegsverfahren.

Die Richtungsableitung $D_{\mathbf{u}}f(\mathbf{x})$ an der Stelle $\mathbf{x} = (x, y)$ in der Richtung $\mathbf{u} = (u, v)$ ($\|\mathbf{u}\| = 1$) ist der Limes der Steigungen von Sekantenstrecken in einer senkrechten Ebene durch \mathbf{x} und $\mathbf{x} + \mathbf{u}$:

$$D_{\mathbf{u}}f(\mathbf{x}) = \lim_{h \rightarrow 0} \frac{f(\mathbf{x} + h\mathbf{u}) - f(\mathbf{x})}{h} = \dots = D_x f(\mathbf{x})u + D_y f(\mathbf{x})v$$

Für $f(x, y) = x^2 + y^2$, $\mathbf{x}_0 = (1, 1)$ und $\mathbf{u} = (\frac{1}{\sqrt{2}}, \frac{1}{\sqrt{2}})$ gelten

und $D_x f(x) = 2x$, $D_y f(x) = 2y$

$$D_{\mathbf{u}}f(\mathbf{x}_0) = D_x f(\mathbf{x}_0)u + D_y f(\mathbf{x}_0)v = 2\frac{1}{\sqrt{2}} + 2\frac{1}{\sqrt{2}} = 2\sqrt{2} > 0.$$

Daher läuft f bergauf an der Stelle \mathbf{x}_0 in der Richtung \mathbf{u} .

Die **Richtung des steilsten Anstiegs** ist

$$\mathbf{u}^*(\mathbf{x}) = \langle D_x f, D_y f \rangle^T / \|\langle D_x f, D_y f \rangle\|$$

und das **Abstiegsverfahren** ist,

$$(\text{neues } \mathbf{x}) \quad \mathbf{x} \leftarrow \mathbf{x} - \alpha \mathbf{u}^*(\mathbf{x}) \quad (\text{altes } \mathbf{x})$$

für das minimierende $\alpha \in \{0, \frac{1}{2}, 1, 2\}$.

Abstiegsverfahren für Systeme

Optimierung der Wölbung? ▶ Die zu minimierende Funktion ist

$$\begin{aligned} J(\mathbf{u}) &= -W^2(Y_s^T \mathbf{u}) = -[M_4(Y_s^T \mathbf{u}) - 3M_2^2(Y_s^T \mathbf{u})]^2 \\ &= -[M_4(Y_s^T \mathbf{u}) - 3]^2 \end{aligned}$$

Der Gradient dieser Funktion ist mit der Kettenregel

$$D_{\mathbf{u}}J(\mathbf{u}) = -2[M_4(Y_s^T \mathbf{u}) - 3]D_{\mathbf{u}}M_4(Y_s^T \mathbf{u})$$

wobei die Gradienten der Momente ▶ sind

$$D_{\mathbf{u}}M_k(Y_s^T \mathbf{u}) = \frac{k}{n} \sum_{i=1}^n (\mathbf{e}_i^T Y_s^T \mathbf{u})^{k-1} (Y_s \mathbf{e}_i)$$

Die Richtung des steilsten Anstiegs ist

$$\mathbf{u}^*(\mathbf{x}) = D_{\mathbf{u}}J(\mathbf{u}) / \|D_{\mathbf{u}}J(\mathbf{u})\|$$

und das **Abstiegsverfahren** ist,

$$(\text{neues } \mathbf{u}) \quad \mathbf{u} \leftarrow \mathbf{u} - \alpha \mathbf{u}^*(\mathbf{u}) \quad (\text{altes } \mathbf{u})$$

für das minimierende $\alpha \in \{0, \frac{1}{2}, 1, 2\}$, wobei mit

$$\mathbf{u} \leftarrow \mathbf{u} / \|\mathbf{u}\|$$

normalisiert wird. Auch wenn \mathbf{u}^* schon für eine andere Komponente bestimmt worden ist, wird \mathbf{u} so **projiziert**


$$\mathbf{u} \leftarrow \mathbf{u} - \mathbf{u}^*(\mathbf{u}^T \mathbf{u}^*).$$

Optimierung der Wölbung mit Roher Gewalt

MATLAB Code zur Abschätzung der Drehung U mit roher Gewalt:

```
im = 1000; U = []; I = eye(m);  $Y_s \in \mathbb{R}^{m \times n}$ 
Ms = 3; % M2 = mean(xz.^2) -> 1
for k=1:m
    Jm = 0;
    for i=1:im
        u = randn(m,1);  $U^T = \{u^*, \dots\} \Rightarrow u^T u^* = 0$ 
        if (k > 1) u = (I - U' * U) * u; end
        u = u/norm(u);  $u^T u = 1$ 
        xz = u' * Ys; M4 = mean(xz.^4); % u = 0?
        J = -(M4 - Ms)^2;
        if (J < Jm) Jm = J; um = u; end
    end
    U = [U; um'];
end
Us = U; Xz = Us * Ys;
```

Optimierung der Wölbung mit Abstiegsverfahren

MATLAB Code um U mit dem Abstiegsverfahren endgültig zu bestimmen, wobei mit der Abschätzung U_s vom letzten Code  gestartet wird:

```
tol = 1.0e-4; itmax = 1000; U = []; lm = 4;
Ms = 3; % M2 = mean(xz.^2)->1
for k=1:m
    u = Us(k, :)' ;
    if (k > 1) u = (I - U' * U) * u; end
    u = u/norm(u); % u = 0?
    for it=1:itmax
        ua = u;
        xz = u' * Ys;
        M4 = mean(xz.^4);
        DM4 = 4 * mean(spdiags(xz(:).^3, 0, n, n) * Ys');
        DJ = -2 * (M4 - Ms) * DM4';
        J = -(M4 - Ms)^2;
```

Optimierung der Wölbung mit Abstiegsverfahren

```
for l=1:lm
    al = 2*l/lm; ut = u - al*DJ;
    if (k > 1) ut = (I - U'*U)*u; end
    ut = ut/norm(ut);
    xt = ut'*Ys;
    M4 = mean(xt.^4);
    J = [J, -(M4 - Ms)^2];
end
l = find(J == min(J(:)),1)-1; al = 2*l/lm;
u = u - al*DJ;
if (k > 1) u = (I - U'*U)*u; end
u = u/norm(u); du = (I - ua*ua')*u; % u = 0?
if (max(abs(du)) <= tol) break; end
end
U = [U;u'];
end
Us = U; Xz = Us*Ys;
```

Newton Verfahren

Nun wird überlegt, wie man eine Funktion $f(x)$, $x \in \mathbb{R}^1$, minimiert, wenn man die Funktion $f(x)$ und ihre Ableitungen $f'(x)$ und $f''(x)$ auswerten kann.

Die Strategie: Eine Nullstelle $f'(x) = 0$ wird durch eine Folge von linearen Approximationen bestimmt:

Für ein gegebenes x_0 ist

$$y - f'(x_0) = f''(x_0)(x - x_0)$$

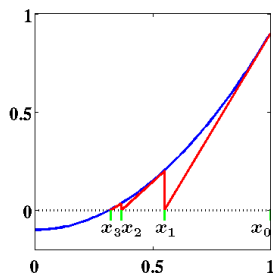
die zur Kurve $f'(x)$ tangente Gerade an der Stelle $(x_0, f'(x_0))$.

Die Nullstelle dieser Gerade erfüllt

$$0 - f'(x_0) = f''(x_0)(x - x_0)$$

oder

$$x_1 \leftarrow x = x_0 - f'(x_0)/f''(x_0)$$



Newton Verfahren

Das Newton Verfahren ist

$$(\text{neues } x) \quad x \leftarrow x - \alpha f'(x)/f''(x) \quad (\text{altes } x)$$

wobei das neue x das alte x ersetzt, und α wird ausgewählt, sodass $f(x)$ reduziert wird.

Wie beim Simplex Verfahren sind vernünftige Proben für α gegeben durch

$$\alpha \in \{0, \frac{1}{2}, 1, 2\}$$

und das α wird gewählt, wo f am kleinsten ist.

MATLAB Code zur Minimierung von $f(x) = x^2$:

```
f=@(x) x.^2; fp=@(x) 2*x; fpp=@(x) 2;
imax=100; tol=1.0e-3; x=0.5; a=[0,1,2,4]/2;
for i=1:imax
    xa=x; fpx=fp(x); fppx=fpp(x); fv=f(x-a*fpx/fppx);
    j=find(fv == min(fv),1); x=x-a(j)*fpx/fppx;
    if (abs(x-xa) <= tol*abs(x)); break; end;
end
```

Newton Verfahren für Systeme

In \mathbb{R}^2 (oder höher) verwendet man den Gradienten,

$$Df(\mathbf{x}) = \langle D_x f(\mathbf{x}), D_y f(\mathbf{x}) \rangle^T$$

und die Hesse Matrix von f ,


$$D^2 f(\mathbf{x}) = \begin{bmatrix} D_x^2 f(\mathbf{x}) & D_x D_y f(\mathbf{x}) \\ D_y D_x f(\mathbf{x}) & D_y^2 f(\mathbf{x}) \end{bmatrix}$$

Das **Newton Verfahren** ist

$$D^2 f(\mathbf{x}) \mathbf{d} = -Df(\mathbf{x})$$

und

$$\text{(neues } \mathbf{x}) \quad \mathbf{x} \leftarrow \mathbf{x} + \alpha \mathbf{d} \quad \text{(altes } \mathbf{x})$$

wobei das neue \mathbf{x} das alte \mathbf{x} ersetzt, und $\alpha \in \{0, \frac{1}{2}, 1, 2\}$ wird ausgewählt, sodass $f(\mathbf{x})$ reduziert wird. Wenn $D^2 f(\mathbf{x})$ positiv definit ist , gilt

$$0 < \alpha \mathbf{d}^T D^2 f(\mathbf{x}) \mathbf{d} = -\alpha \mathbf{d}^T Df(\mathbf{x}) = -(\mathbf{x}_{\text{neu}} - \mathbf{x}_{\text{alt}})^T Df(\mathbf{x})$$

und so $(\mathbf{x}_{\text{neu}} - \mathbf{x}_{\text{alt}})$ hat eine Richtung ähnlich zu $-Df(\mathbf{x})$ mit dem steilsten Abstieg. **Daher wählt man $\alpha > 0$ aus.**

Optimierung von Wölbung? Die Hesse Matrix für $J(\mathbf{u})$ ist:

Newton Verfahren für Systeme

$$D_u^2 J(\mathbf{u}) = -2\mathbf{M}\mathbf{M}^T + \text{vernachlässigbar}$$

mit

$$\mathbf{M} = D_u M_4(Y_s^T \mathbf{u})$$

wobei $D_u M_k(Y_s^T \mathbf{u})$ früher für $D_u J(\mathbf{u})$ berechnet worden sind. ▶

Die Approximation $D_u^2 J(\mathbf{u}) \approx -2\mathbf{M}\mathbf{M}^T$ ist negativ *semi-definit* ▶,

$$\mathbf{d}^T D_u^2 J(\mathbf{u}) \mathbf{d} \approx -2\mathbf{d}^T \mathbf{M}\mathbf{M}^T \mathbf{d} = -2(\mathbf{M}^T \mathbf{d})^2 \leq 0$$

und daher wird eine Abstiegsrichtung durch $\alpha < 0$ unten gesichert,

$$\alpha \mathbf{d}^T D_u J(\mathbf{u}) \mathbf{d} \approx -\alpha \mathbf{d}^T D_u J(\mathbf{u}) = -(\mathbf{u}_{\text{neu}} - \mathbf{u}_{\text{alt}})^T D_u J(\mathbf{u}) > 0!$$

Für ein kleines $\epsilon > 0$ ist das approximierte **Newton Verfahren**,

$$(-2\mathbf{M}\mathbf{M}^T - \epsilon I) \mathbf{d} = -D_u J(\mathbf{u})$$

und

$$(\text{neues } \mathbf{u}) \quad \mathbf{u} \leftarrow \mathbf{u} + \alpha \mathbf{d} \quad (\text{altes } \mathbf{u})$$

für das minimierende $\alpha \in \{0, -\frac{1}{2}, -1, -2\}$, wobei mit

$$\mathbf{u} \leftarrow \mathbf{u} / \|\mathbf{u}\|$$

normalisiert wird. Auch wenn \mathbf{u}^* schon für eine andere Komponente bestimmt worden ist, wird \mathbf{u} so **projiziert**

$$\mathbf{u} \leftarrow \mathbf{u} - \mathbf{u}^*(\mathbf{u}^T \mathbf{u}^*).$$

Optimierung der Wölbung mit Newton Verfahren

MATLAB Code um U mit dem Newton Verfahren endgültig zu bestimmen, wobei mit der Abschätzung U_s vom letzten Code gestartet wird:


```
tol = 1.0e-7; itmax = 100; U = []; lm = 4;
I = eye(m); Ms = 3;          % M2 = mean(xz.^2)->1
for k=1:m
    u = Us(k, :)' ;
    if (k > 1) u = (I - U' * U) * u; end
    u = u/norm(u);           % u = 0?
    for it=1:itmax
        ua = u;
        xz = u' * Ys;
        M4 = mean(xz.^4);
        DM4 = 4*mean(spdiags(xz(:).^3, 0, n, n) * Ys');
        DJ = -2 * (M4 - Ms) * DM4';
        M = DM4; ep = 1.0e-3 * max(abs(M));
        d = (2 * M * M' + ep * I) \ DJ;
```

Optimierung der Wölbung mit Newton Verfahren

```
J = -(M4 - Ms)^2;
for l=1:lm
    al = -2*l/lm; ut = u + al*d;
    if (k > 1) ut = (I - U'*U)*u; end
    ut = ut/norm(ut);
    xt = ut'*Ys;
    M4 = mean(xt.^4);
    J = [J, -(M4 - Ms)^2];
end
l = find(J == min(J(:)),1)-1; al = -2*l/lm;
u = u + al*d;
if (k > 1) u = (I - U'*U)*u; end % u = 0?
u = u/norm(u); du = (I - ua*ua')*u;
if (max(abs(du)) <= tol) break; end
end
U = [U;u'];
end
Xz = U*Ys;
```

Fortgeschrittene Themen

Eine alternative Zielfunktion wird mit dem folgenden Beispiel motiviert.

Basierend auf dem obigen Beispiel  seien \mathbf{y}_1 und \mathbf{y}_2 in

$$Y = \{\mathbf{y}_1, \mathbf{y}_2\}^T \in \mathbb{R}^{2 \times n}$$

die ersten bzw. zweiten Koordinaten der abgetasteten Punkte, die aus der Menge $\{(\pm 1, 0), (0, \pm 1)\}$ mit gleicher Häufigkeit ausgewählt werden, aber es gibt *genau zwei Ausreißer* :

$$\begin{aligned}(\mathbf{y}_1)_1 &= \alpha, & (\mathbf{y}_2)_1 &= 0 \\ (\mathbf{y}_1)_2 &= -\alpha, & (\mathbf{y}_2)_2 &= 0\end{aligned}$$

Sonst gelten $(\mathbf{y}_1)_3 = (\mathbf{y}_1)_4 = 0$, $(\mathbf{y}_2)_3 = -(\mathbf{y}_2)_4 = 1$,

$$\bar{\mathbf{Y}}^T = \{\mu(\mathbf{y}_1), \mu(\mathbf{y}_2)\} = 0$$

und

$$\begin{aligned}\sigma^2(\mathbf{y}_1) &= \frac{1}{n} \left[\underbrace{2\alpha^2}_{i=1,2} + \underbrace{0}_{i=3,4} + \sum_{i=5}^n (\mathbf{y}_1)_i^2 \right] \\ &= \frac{1}{n} \left[2\alpha^2 + \frac{1}{2}(n-4) \right] = \frac{1}{2} \left[1 + \frac{4}{n}(\alpha^2 - 1) \right]\end{aligned}$$

Robuste Zielfunktion

Ähnlich,

$$\sigma^2(\mathbf{y}_2) = \frac{1}{n} \left[\underbrace{0}_{i=1,2} + \underbrace{2}_{i=3,4} + \sum_{i=5}^n (\mathbf{y}_2)_i^2 \right] = \frac{1}{n} \left[2 + \frac{1}{2}(n-4) \right] = \frac{1}{2}$$

Mit $Y_z = [Y - \bar{Y}] = Y$,

$$K = \frac{1}{n} Y_z Y_z^T = \frac{1}{n} Y Y^T = \text{diag}\{\sigma^2(\mathbf{y}_1), \sigma^2(\mathbf{y}_2)\} := \Lambda$$

und $V = I$ gilt $KV = V\Lambda$, und die Daten werden so gesphärzt,

$$Y_s = \Lambda^{-\frac{1}{2}} V Y_z = \left\{ \frac{\mathbf{y}_1}{\sigma(\mathbf{y}_1)}, \frac{\mathbf{y}_2}{\sigma(\mathbf{y}_2)} \right\}^T, \quad \frac{1}{n} Y_s Y_s^T = I$$

Die Zeilen von Y_s sind unkorreliert aber nicht unabhängig .

Ohne Ausreißer sind die Daten unabhängig mit der Drehung

$$U = \begin{bmatrix} \cos(\theta) & \sin(\theta) \\ -\sin(\theta) & \cos(\theta) \end{bmatrix}, \quad \theta = \frac{\pi}{4}, \quad \mathbf{u}^* = \{1, 1\}/\sqrt{2}$$

Eine Zeile $\mathbf{u} \approx \mathbf{u}^*$ von U wird gesucht, wobei $\mathbf{x} = Y_s^T \mathbf{u}$ möglichst nicht Gauß verteilt ist. Für die Wölbung wird berechnet,

$$M_2(Y_s^T \mathbf{u}) = \frac{1}{n} \mathbf{u}^T Y_s Y_s^T \mathbf{u} = \mathbf{u}^T \mathbf{u} = 1$$

Robuste Zielfunktion

und

$$\begin{aligned}M_4(Y_s^T \mathbf{u}) &= \frac{1}{n} \sum_{i=1}^n (\mathbf{e}_i^T Y_s^T \mathbf{u})^4 = \frac{1}{n} \sum_{i=1}^n \left[\frac{(\mathbf{y}_1)_i}{\sigma(\mathbf{y}_1)} u_1 + \frac{(\mathbf{y}_2)_i}{\sigma(\mathbf{y}_2)} u_2 \right]^4 \\&= \frac{1}{n} \left\{ \sum_{i=1}^2 \left[\frac{(\mathbf{y}_1)_i}{\sigma(\mathbf{y}_1)} u_1 \right]^4 + \sum_{i=3}^4 \left[\frac{(\mathbf{y}_2)_i}{\sigma(\mathbf{y}_2)} u_2 \right]^4 \right. \\&\quad \left. + \sum_{i \geq 5, (\mathbf{y}_2)_i = 0}^n \left[\frac{(\mathbf{y}_1)_i}{\sigma(\mathbf{y}_1)} u_1 \right]^4 + \sum_{i \geq 5, (\mathbf{y}_1)_i = 0}^n \left[\frac{(\mathbf{y}_2)_i}{\sigma(\mathbf{y}_2)} u_2 \right]^4 \right\} \\&= \frac{1}{n} \left\{ \sum_{i=1}^2 \frac{\alpha^4}{\frac{1}{4} \left[1 + \frac{4}{n} (\alpha^2 - 1) \right]^2} u_1^4 + \sum_{i=3}^4 \frac{1}{\frac{1}{4}} u_2^4 \right. \\&\quad \left. + \sum_{i \geq 5, (\mathbf{y}_2)_i = 0}^n \frac{1}{\frac{1}{4} \left[1 + \frac{4}{n} (\alpha^2 - 1) \right]^2} u_1^4 + \sum_{i \geq 5, (\mathbf{y}_1)_i = 0}^n \frac{1}{\frac{1}{4}} u_2^4 \right\} \\&= \dots = 2 \left[v_n(\alpha) u_1^4 + u_2^4 \right] \quad \text{wobei} \quad v_n(\alpha) = \frac{1 + \frac{4}{n} (\alpha^4 - 1)}{\left[1 + \frac{4}{n} (\alpha^2 - 1) \right]^2}\end{aligned}$$

Robuste Zielfunktion

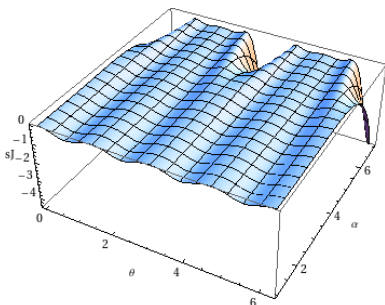
Mit den obigen Rechnungen ist die Wölbung gegeben durch

$$W(Y_s^T \mathbf{u}) = M_4(Y_s^T \mathbf{u}) - 3M_2^2(Y_s^T \mathbf{u}) = 2 \left[v_n(\alpha) u_1^4 + u_2^4 - \frac{3}{2} \right]$$

und die bisher verwendete Zielfunktion ist

$$J(\mathbf{u}) = -W^2(Y_s^T \mathbf{u}) = -4 \left[v_n(\alpha) u_1^4 + u_2^4 - \frac{3}{2} \right]^2$$

Mit $\mathbf{u} = \{\cos(\theta), \sin(\theta)\}$ und $n = 2000$ sieht die Landschaft dieser Zielfunktion so aus:



Ein minimierendes \mathbf{u} ist

$$\mathbf{u} = \left\{ 1, \sqrt{v_n(\alpha)} \right\} / \sqrt{1 + v_n(\alpha)}$$

wobei $\alpha = 1 \Rightarrow v_n(1) = 1$ und

$$\mathbf{u} \rightarrow \mathbf{u}^* \text{ oder } \theta = \frac{\pi}{4} \approx 0.8.$$

Jedoch für größeres α liegt das globale Minimum bei $\theta = 0$ oder

$$\mathbf{u} \xrightarrow{\alpha \rightarrow \infty} \{1, 0\}$$

und so werden die Daten nicht gedreht.

Daher ist diese Zielfunktion gegen Ausreißer empfindlich.

Robuste Zielfunktion

Für eine alternative Zielfunktion wird berechnet:


$$\begin{aligned}M_1(\mathbf{Y}_s^T \mathbf{u}) &= \frac{1}{n} \sum_{i=1}^n |\mathbf{e}_i^T \mathbf{Y}_s^T \mathbf{u}| = \frac{1}{n} \sum_{i=1}^n \left| \frac{(\mathbf{y}_1)_i}{\sigma(\mathbf{y}_1)} u_1 + \frac{(\mathbf{y}_2)_i}{\sigma(\mathbf{y}_2)} u_2 \right| \\&= \frac{1}{n} \left\{ \sum_{i=1}^2 \left| \frac{(\mathbf{y}_1)_i}{\sigma(\mathbf{y}_1)} u_1 \right| + \sum_{i=3}^4 \left| \frac{(\mathbf{y}_2)_i}{\sigma(\mathbf{y}_2)} u_2 \right| \right. \\&\quad \left. + \sum_{i \geq 5, (\mathbf{y}_2)_i = 0}^n \left| \frac{(\mathbf{y}_1)_i}{\sigma(\mathbf{y}_1)} u_1 \right| + \sum_{i \geq 5, (\mathbf{y}_1)_i = 0}^n \left| \frac{(\mathbf{y}_2)_i}{\sigma(\mathbf{y}_2)} u_2 \right| \right\} \\&= \frac{\sqrt{2}}{n} \left\{ \frac{2|\alpha|}{\gamma_n(\alpha)} |u_1| + 2|u_2| + \frac{1}{2}(n-4) \frac{1}{\gamma_n(\alpha)} + \frac{1}{2}(n-4) |u_2| \right\}\end{aligned}$$

wobei $\gamma_n(\alpha) = 1 + \frac{4}{n}(\alpha^2 - 1)$,

und mit $\nu_n(\alpha) = [1 + \frac{4}{n}(|\alpha| - 1)] / \gamma_n(\alpha)$,

$$= \frac{1}{\sqrt{2}} [\nu_n(\alpha) |u_1| + |u_2|]$$

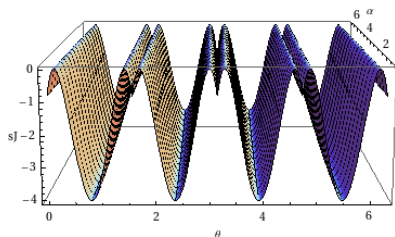
Robuste Zielfunktion

Eine Abtastung $\mathbf{n} = \{n_i\}_{i=1}^n$ mit der Gaußschen Verteilung $N(\mu, \sigma)$ erfüllt 

$$M_1(\mathbf{n}) = \frac{1}{n} \sum_{i=1}^n |n_i - \mu| \xrightarrow{n \rightarrow \infty} \sigma \sqrt{\frac{2}{\pi}}$$

Daher wird die folgende Zielfunktion natürlich definiert:

$$J(\mathbf{u}) = - \left[M_1(Y_s^T \mathbf{u}) - \sqrt{M_2(Y_s^T \mathbf{u})} \sqrt{\frac{2}{\pi}} \right]^2 \rightarrow -\frac{1}{2} \left[\nu_n(\alpha) |u_1| + |u_2| - \frac{2}{\sqrt{\pi}} \right]^2$$



Mit $\mathbf{u} = \{\cos(\theta), \sin(\theta)\}$ und $n = 2000$, sieht die Landschaft dieser Zielfunktion so aus.

Sie wird für größeres α bei $\theta \approx \pi/4$ or $\mathbf{u} \approx \mathbf{u}^*$ minimiert.

Daher ist diese Zielfunktion gegen Ausreißer robust.

Optimierung der Robusten Zielfunktion

Im Gegensatz zu den vorherigen Codes  wird die robuste Zielfunktion hier mit einer neuen Methode optimiert.

Die Zielfunktion,

$$\begin{aligned} J(\mathbf{u}) &= -[M_1(Y_s^T \mathbf{u}) - \sqrt{M_2(Y_s \mathbf{u})} \sqrt{\frac{2}{\pi}}]^2 \\ &= -[M_1(Y_s^T \mathbf{u}) - \sqrt{2/\pi}]^2 \end{aligned}$$

soll unter der Nebenbedingung $\mathbf{u}^T \mathbf{u} = 1$ minimiert werden.

Die Lösung entspricht einem stationären Punkt der Lagrange Funktion,

$$L(\mathbf{u}, \lambda) = J(\mathbf{u}) + \lambda(\mathbf{u}^T \mathbf{u} - 1)/2$$

Die Zielfunktion hat den Gradienten,

$$D_{\mathbf{u}} J(\mathbf{u}) = -2[M_1(Y_s^T \mathbf{u}) - \sqrt{2/\pi}] D_{\mathbf{u}} M_1(Y_s^T \mathbf{u})$$

wobei der Gradient von $M_1(Y_s^T \mathbf{u})$ ist für $\epsilon \ll 1$,

$$D_{\mathbf{u}} M_1(Y_s^T \mathbf{u}) \approx \frac{1}{n} \sum_{i=1}^n [(\mathbf{e}_i^T Y_s^T \mathbf{u})^2 + \epsilon^2]^{-\frac{1}{2}} (\mathbf{e}_i^T Y_s^T \mathbf{u}) (Y_s \mathbf{e}_i)$$

Optimierung der Robusten Zielfunktion

Mit $\phi(\mathbf{u}) = 2[M_1(Y_s^T \mathbf{u}) - \sqrt{2/\pi}]$ und der SPD Matrix

$$G(\mathbf{u}) = \frac{1}{n} \sum_{i=1}^n [(\mathbf{e}_i^T Y_s^T \mathbf{u})^2 + \epsilon^2]^{-\frac{1}{2}} Y_s \mathbf{e}_i \mathbf{e}_i^T Y_s^T$$

gilt

$$\phi(\mathbf{u})G(\mathbf{u})\mathbf{u} = -D_{\mathbf{u}}J(\mathbf{u}).$$

Ein stationärer Punkt $(\mathbf{u}^*, \lambda^*)$ von L erfüllt $-D_{\mathbf{u}}J(\mathbf{u}^*) = \lambda^* \mathbf{u}^*$
oder mit $\lambda^* = \mu^*(\mathbf{u}^*)\phi(\mathbf{u}^*)$,

$$G(\mathbf{u}^*)\mathbf{u}^* = \mu^*(\mathbf{u}^*)\mathbf{u}^*, \quad \mathbf{u}^{*T}\mathbf{u}^* = 1$$

Dieses nicht lineare Eigenraumproblem wird mit der folgenden Vektoriteration gelöst.

Gegeben sei $\mathbf{u}_l \approx \mathbf{u}^*$ mit $\|\mathbf{u}_l\| = 1$ und eine Aktualisierung \mathbf{u}_{l+1} wird so bestimmt:

$$G(\mathbf{u}_l)\mathbf{u} = \mathbf{u}_l, \quad \mathbf{u}_{l+1} = \mathbf{u}/\|\mathbf{u}\|, \quad l = 1, 2, \dots$$

Optimierung der Robusten Zielfunktion

Nach Konvergenz ist $\mathbf{u}^* = \lim_{l \rightarrow \infty} \mathbf{u}_l$ die erste Spalte von U^T .

Die nächste Spalte von U^T wird durch eine modifizierte Vektoriteration bestimmt. Nun sei

$$\tilde{G}(\mathbf{u}) = \frac{1}{n} \sum_{i=1}^n [(\mathbf{e}_i^T Y_p^T \mathbf{u})^2 + \epsilon^2]^{-\frac{1}{2}} Y_p \mathbf{e}_i \mathbf{e}_i^T Y_p^T$$

wobei die projizierten Daten

$$Y_p = (I - \mathbf{u}^* \mathbf{u}^{*T}) Y_s$$

Spalten haben, die von \mathbf{u}^* linear unabhängig sind.

Die modifizierte Vektoriteration ist,

$$[\mathbf{u}^* \mathbf{u}^{*T} + \tilde{G}(\mathbf{u}_l)] \mathbf{u} = \mathbf{u}_l, \quad \mathbf{u}_{l+1} = \mathbf{u} / \|\mathbf{u}\|, \quad l = 1, 2, \dots$$

Die verbliebenen Spalten von U^T werden ähnlich bestimmt, wobei \mathbf{u}^* oben mit der Matrix $[\mathbf{u}_1^*, \dots, \mathbf{u}_k^*]$ ersetzt wird, wenn k Spalten $\{\mathbf{u}_1^*, \dots, \mathbf{u}_k^*\}$ von U^T schon berechnet worden sind.

Optimierung der Robusten Zielfunktion

MATLAB Code um U mit der obigen Methode zu bestimmen, wobei mit zufälliger Abtastung gestartet wird.

```
itmax = 1000; lmax = 100; tol = 1.0e-6;
I = eye(m); U = [];
Ms = sqrt(2/pi); ep = 1.0e-3;
for i=1:(m-1)
    if (i == 1)
        Yp = Ys;
    else
        Yp = (I - U'*U)*Ys;    % Daten projizieren
    end
    for l=1:lmax                % Zufaelliche Abtastung
        u = randn(m,1);
        if (i > 1)
            u = (I - U'*U)*u;
        end
        u = u/norm(u);
```

Optimierung der Robusten Zielfunktion

```
M1 = mean(sqrt((u'*Yp).^2+ep^2));
J = -(M1 - Ms)^2;
if (l == 1)
    Jm = J; ua = u;
else
    if (J < Jm) Jm = J; ua = u; end
end
end
u = ua;
yy = zeros(m,m,n);      % Vorrechnung fuer G
for k=1:n
    yy(:, :, k) = Yp(:, k)*Yp(:, k)';
end
for it=1:itmax          % Vektoriteration
    ua = u;
    Lp = 1./sqrt((u'*Yp).^2 + ep);
    yL = reshape(yy,m*m,n)*spdiags(Lp', 0, n, n);
    G = mean(reshape(yL,m,m,n), 3);
```


Optimierung der Robusten Zielfunktion

```
    if (i == 1)
        u = G \ ua;
    else
        u = (G + U' * U) \ ua;
        u = (I - U' * U) * u;
    end
    u = u/norm(u);
    u = sign(dot(u, ua)) * u;
    du = (I - ua * ua') * u;
    if (max(abs(du)) < tol) break; end
end
U = [U; u'];
end
u = randn(m, 1);           % letzte Reihe von U
u = (I - U' * U) * u;
u = u/norm(u);
U = [U; u'];
Xz = U * Ys;
```

Formulierung im Funktionenraum

Analog zur diskreten Formulierung ► seien $\{z_i(\omega) : \omega \in \Omega\}_{i=1}^{\infty}$ abzählbar viele **Zufallsfunktionen** (z.B. Bilder, vgl. ►), die erfüllen,

$$\int_{\Omega} |z_i(\omega)|^2 d\omega < \infty \quad \text{oder} \quad z_i \in L^2(\Omega)$$

Sei $\{e_j(\omega)\}_{j=1}^{\infty}$ eine natürliche orthonormale Basis für $L^2(\Omega)$,

$$\int_{\Omega} e_i(\omega) e_j(\omega) d\omega = \delta_{i,j}$$

sodass die Zufallsfunktionen sich bezüglich der Basis so darstellen lassen,


$$z_i(\omega) = \sum_{j=1}^{\infty} z_{i,j} e_j(\omega), \quad z_{i,j} = \int_{\Omega} z_i(\omega) e_j(\omega) d\omega$$

Die statistischen Eigenschaften der Zufallsfunktionen lassen sich bezüglich der Koeffizienten $\{z_{i,j}\}$ formulieren:

- $z_1(\omega)$ sei normal verteilt wenn $\{z_{1,j}\}_{j=1}^N$, $\forall N$, normal verteilt sind,
- $z_1(\omega)$ und $z_2(\omega)$ seien unabhängig wenn $\{z_{1,j}\}_{j=1}^N$ und $\{z_{2,j}\}_{j=1}^N$, $\forall N$, unabhängig sind.

Formulierung im Funktionenraum


Angenommen sind die Zufallsfunktionen $\{z_i(\omega) : \omega \in \Omega\}_{i=1}^{\infty}$ paarweise unabhängig und nicht Gauß verteilt.

Wenn die Zufallsfunktionen als Bilder interpretiert werden, und die pixelweise Darstellung verwendet wird , nimmt man

$$e_i(\omega) = \begin{cases} 1, & \omega \in \text{Pixel}_i \\ 0, & \text{sonst} \end{cases} \quad \text{Pixel}_i = [\omega_i, \omega_i + h]$$

aber so eine orthonormale Basis ist notwendigerweise endlich.

Seien $\{z_i(\omega, t) : \omega \in \Omega\}_{i=1}^{\infty}$ über $0 \leq t \leq T$ kontinuierlich abgetastete Realisierungen der Zufallsfunktionen. Diese sind die **Quellen**, die unabhängig und nicht Gauß verteilt sind.

Da die Quellen unabhängig sind, sind sie auch unkorreliert :

$$\begin{aligned} \delta_{i,j} &= \frac{1}{T} \int_0^T \left[\int_{\Omega} z_i(\omega, t) z_j(\omega, t) d\omega \right] dt = \\ \frac{1}{T} \int_0^T \left[\sum_{k,l=1}^{\infty} z_{i,k}(t) z_{j,l}(t) \underbrace{\int_{\Omega} e_k(\omega) e_l(\omega) d\omega}_{=\delta_{k,l}} \right] dt &= \sum_{k=1}^{\infty} \frac{1}{T} \int_0^T z_{i,k}(t) z_{j,k}(t) dt \end{aligned}$$

Formulierung im Funktionenraum

Seien $\{y_i(\omega, t) : \omega \in \Omega\}_{i=1}^{\infty}$ über $0 \leq t \leq T$ kontinuierlich abgetastete **Messungen**, wobei für unbekannte $A = \{a_{i,j}\}_{i,j=1}^{\infty}$

$$y_i(\omega, t) = \sum_{j=1}^{\infty} a_{i,j} z_j(\omega, t)$$

Seien diese Daten so **zentriert**,

$$y_i^z(\omega, t) = y_i(\omega, t) - \mu(y_i(\omega)), \quad \mu(y_i(\omega)) = \frac{1}{T} \int_0^T y_i(\omega, t) dt$$

und definiere die **Kovarianzen**

$$\kappa_{i,j} = \frac{1}{T} \int_0^T \left[\int_{\Omega} y_i^z(\omega, t) y_j^z(\omega, t) d\omega \right] dt$$

Angenommen hat der Operator $K : L^2(\Omega) \rightarrow L^2(\Omega)$

$$[Kf](\omega) = \sum_{i=1}^{\infty} \left[\sum_{j=1}^{\infty} \kappa_{i,j} f_j \right] e_i(\omega), \quad f_j = \int_{\Omega} f(\omega) e_j(\omega)$$

eine orthonormale Basis von **Eigenfunktionen** $\{v_k(\omega)\}_{k=1}^{\infty}$ mit positiven **Eigenwerten** $\lambda_1 > \lambda_2 > \dots > \lambda_k \xrightarrow{k \rightarrow \infty} 0$, d.h.

Formulierung im Funktionenraum

es gelten

$$\lambda_k \mathbf{v}_k(\omega) = [K\mathbf{v}_k](\omega), \quad \int_{\Omega} \mathbf{v}_k(\omega) \mathbf{v}_l(\omega) d\omega = \delta_{k,l}, \quad k, l = 1, 2, \dots$$

oder mit

$$\mathbf{v}_k(\omega) = \sum_{i=1}^{\infty} \mathbf{e}_i(\omega) v_{i,k}$$

folgen

$$v_{i,k} \lambda_k = \sum_{j=1}^{\infty} \kappa_{i,j} v_{j,k}, \quad \sum_{i=1}^{\infty} v_{i,k} v_{i,l} = \delta_{k,l}, \quad k, l = 1, 2, \dots$$

Die **zentrierten Daten** lassen sich so darstellen,

$$\mathbf{y}_i^z(\omega, t) = \sum_{k=1}^{\infty} \mathbf{y}_{i,k}^z(t) \mathbf{e}_k(\omega), \quad \mathbf{y}_{i,k}^z(t) = \int_{\Omega} \mathbf{y}_i^z(\omega, t) \mathbf{e}_k(\omega) d\omega$$

und es folgt

$$v_{i,k} \lambda_k = \sum_{j=1}^{\infty} \kappa_{i,j} v_{j,k} =$$

$$\sum_{j=1}^{\infty} \left\{ \frac{1}{T} \int_0^T \left[\sum_{m,n=1}^{\infty} \mathbf{y}_{i,m}^z(t) \mathbf{y}_{j,n}^z(t) \underbrace{\int_{\Omega} \mathbf{e}_m(\omega) \mathbf{e}_n(\omega) d\omega}_{=\delta_{m,n}} \right] dt \right\} v_{j,k}$$

Formulierung im Funktionenraum

oder

$$v_{i,k} \lambda_k = \sum_{j=1}^{\infty} \left\{ \frac{1}{T} \int_0^T \sum_{m=1}^{\infty} y_{i,m}^z(t) y_{j,m}^z(t) dt \right\} v_{j,k}$$

Definiere die **gespärten** Daten

$$y_i^s(\omega, t) = \sum_{k=1}^{\infty} y_{i,k}^s(t) e_k(\omega) \quad \text{wobei} \quad y_{i,k}^s(t) = \lambda_i^{-\frac{1}{2}} \sum_{m=1}^{\infty} v_{m,i} y_{m,k}^z(t)$$

die **unkorreliert** sind,

$$\begin{aligned} & \frac{1}{T} \int_0^T \left[\int_{\Omega} y_i^s(\omega, t) y_j^s(\omega, t) d\omega \right] dt = \\ & \frac{1}{T} \int_0^T \sum_{k,l=1}^{\infty} y_{i,k}^s(t) y_{j,l}^s(t) \underbrace{\left[\int_{\Omega} e_k(\omega) e_l(\omega) d\omega \right]}_{=\delta_{k,l}} dt = \frac{1}{T} \int_0^T \sum_{k=1}^{\infty} y_{i,k}^s(t) y_{j,k}^s(t) dt \\ & = \frac{1}{\sqrt{\lambda_i \lambda_j}} \sum_{m=1}^{\infty} v_{m,i} \underbrace{\sum_{n=1}^{\infty} \left\{ \frac{1}{T} \int_0^T \sum_{k=1}^{\infty} y_{m,k}^z(t) y_{n,k}^z(t) dt \right\}}_{=v_{m,j} \lambda_j} v_{n,j} = \underbrace{\sqrt{\frac{\lambda_j}{\lambda_i}} \sum_{m=1}^{\infty} v_{m,i} v_{m,j}}_{=\delta_{i,j}} \end{aligned}$$

Formulierung im Funktionenraum

Nun wird eine orthonormale Basis $\{u_k(\omega)\}_{k=1}^{\infty}$ für $L^2(\Omega)$ gesucht,

$$u_k(\omega) = \sum_{i=1}^{\infty} e_i(\omega) u_{i,k} \quad \delta_{k,l} = \int_{\Omega} u_k(\omega) u_l(\omega) d\omega =$$

$$\sum_{i,j=1}^{\infty} u_{i,k} u_{j,k} \underbrace{\int_{\Omega} e_i(\omega) e_j(\omega) d\omega}_{=\delta_{i,j}} = \sum_{i=1}^{\infty} u_{i,k} u_{i,k}$$

wobei mit

$$x_j^z(\omega, t) = \sum_{k=1}^{\infty} x_{i,k}^z(t) e_k(\omega)$$

$$x_{i,k}^z(t) = \sum_{n=1}^{\infty} u_{i,n} y_{n,k}^s(t) = \sum_{n=1}^{\infty} u_{i,n} \lambda_n^{-\frac{1}{2}} \sum_{m=1}^{\infty} v_{m,n} y_{m,k}^z(t)$$

die Daten $\{x_j^z(\omega, t) : \omega \in \Omega\}_{j=1}^{\infty}$, die wegen der Eigenschaften von $\{u_k(\omega)\}_{k=1}^{\infty}$ schon unkorreliert sind, auch paarweise möglichst **unabhängig** sind.

Somit wird A^{-1} mit W approximiert, wobei $W = \{w_{i,j}\}_{i,j=1}^{\infty}$ und

$$w_{i,j} = \sum_{n=1}^{\infty} u_{i,n} \lambda_n^{-\frac{1}{2}} v_{j,n}$$

Formulierung im Funktionenraum

Basierend auf der obigen Inversionsformel bezeichne mit

$$x_i^z(u_j) = \sum_{k=1}^{\infty} \left[\sum_{n=1}^{\infty} u_{i,n} y_{n,k}^s(t) \right]$$

die Abhängigkeit von $u_j = \{u_{i,n}\}_{n=1}^{\infty}$ und definiere

$$M_2(x_i^z(u_j)) = \frac{1}{T} \int_0^T \left[\sum_{n=1}^{\infty} u_{i,n} y_{n,k}^s(t) \right]^2 dt$$

und

$$M_e(x_i^z(u_j)) = \frac{1}{T} \int_0^T \exp \left[- \left(\sum_{n=1}^{\infty} u_{i,n} y_{n,k}^s(t) \right)^2 \right] dt$$

Um u_j zu bestimmen, ist die folgende **robuste Zielfunktion** für jedes i zu **minimieren**:

$$J(u_j) = - \left[M_e(x_i^z(u_j)) - 1 / \sqrt{1 + 2M_2(x_i^z(u_j))} \right]^2$$

unter der **Nebenbedingung**

$$\sum_{n=1}^{\infty} u_{i,n} u_{j,n} = \delta_{i,j}$$